

T E S E     D E     M E S T R A D O

ALGUMAS APLICAÇÕES E PROPRIEDADES DE CÓDIGOS ALGÉBRICOS

ÊVIO DA ROCHA ARAÚJO

COORDENAÇÃO DO MESTRADO EM ENGENHARIA ELÉTRICA  
DEPARTAMENTO DE ELETRÔNICA E SISTEMAS  
UNIVERSIDADE FEDERAL DE PERNAMBUCO  
CIDADE UNIVERSITÁRIA

RECIFE - BRASIL

- 1990 -

UNIVERSIDADE FEDERAL DE PERNAMBUCO  
DEPARTAMENTO DE ELETRÔNICA E SISTEMAS

ALGUMAS APLICAÇÕES E PROPRIEDADES DE CÓDIGOS ALGÉBRICOS

POR

ÊVIO DA ROCHA ARAÚJO

Tese apresentada à Coordenação de Pós-Graduação em Engenharia Elétrica do Centro de Tecnologia da Universidade Federal de Pernambuco, como parte dos requisitos para obtenção do título de Mestre em Engenharia Elétrica.

Orientador      Valdemar Cardoso da Rocha Jr.

Aos meus Pais,  
Waldemar e Dalila

à minha esposa  
Girleide e  
à Pollyanna.

Je n'ai pas le temps.  
Evariste Galois

Ao meu amigo,  
Fred Nogales  
Saudades . . .

## AGRADECIMENTOS

Gostaria de expressar meus agradecimentos a todos aqueles que direta ou indiretamente contribuíram para a elaboração deste trabalho.

A todos os professores do curso de Mestrado em Engenharia Elétrica.

Aos professores Ricardo Campeilo de Souza e Mareia Mahon Campeilo de Souza pelos ensinamentos, incentivo e amizade, principalmente nas horas mais difíceis.

Aos meus amigos de curso, Fred, Fernanda, Mario, Hirtes e Thomas, pelos bons momentos que passamos juntos.

Aos companheiros do Laboratório de Eletrônica do Metrô do Recife pelo incentivo e amizade.

Aos Engenheiros Ricardo Esberard e Alexandre Reyes do Sistema de Sinalização do Metrô do Recife.

Ao professor Marcos Martins pelo apoio e confiança principalmente enquanto Chefe da Gerência do Laboratório de Eletrônica do Metrô do Recife.

A Wander e Andréa pela rapidez e qualidade do serviço de datilografia executado.

À CAPES pelo apoio financeiro concedido durante a elaboração deste trabalho.

Ao meu irmão, Ézio que me indicou os primeiros caminhos na área das ciências exatas.

Ao professor Valdemar Cardoso da Rocha Júnior por sua orientação, incentivo, paciência e amizade.

## RESUMO

Nesta tese são apresentadas e analisadas de forma sistemática algumas aplicações e propriedades de códigos algébricos. Tais propriedades permitem obter procedimentos para a construção de códigos, simplificação de alguns métodos para decodificação de códigos BCH e melhora no desempenho dos sistemas de comunicação digital através das técnicas de decisão suave aplicadas à decodificação por armadilha de erros. Alguns tópicos principalmente aqueles relacionados com a geração e decodificação de códigos multíniveis pseudocíclicos são de grande interesse atual e certamente continuam a merecer a atenção daqueles que se dedicam a codificação algébrica.

CAPÍTULO 1

INTRODUÇÃO . . . . .	.01
----------------------	-----

CAPÍTULO 2

CÓDIGOS DE BLOCO LINEARES . . . . .	.04
2.1. CONCEITOS BÁSICOS . . . . .	.04
2.1.1. PESO DE HAMMING . . . . .	.04
2.1.2. DISTANCIA DE HAMMING . . . . .	.04
2.1.3. CÓDIGO LINEAR . . . . .	.04
2.1.4. DISTANCIA MÍNIMA DO CÓDIGO . . . . .	.05
2.1.5. PALAVRA CÓDIGO . . . . .	.05
2.2. MATRIZ GERADORA DE UM CÓDIGO LINEAR . . . . .	.05
2.2.1. MATRIZ GERADORA NA FORMA SISTEMÁTICA . . . . .	.06
2.3. MATRIZ DE VERIFICAÇÃO DE PARIDADE . . . . .	.07
2.4. CÓDIGO DUAL . . . . .	.07
2.5. SINDROME . . . . .	.07
2.6. CAPACIDADE DE DETEÇÃO E CORREÇÃO DE ERROS DE UM CÓDIGO DE BLOCO LINEAR . . . . .	.OB
2.6.1. CAPACIDADE DE DETEÇÃO DE ERROS ALEATÓRIOS . . . . .	.OB
2.6.2. DISTRIBUIÇÃO DE PESOS DO CÓDIGO $CC_{n,k,cD}$ . . . . .	.09
2.6.3. CAPACIDADE DE CORREÇÃO DE ERROS ALEATÓRIOS . . . . .	.09
2.6.4. COTA SUPERIOR PARA A PROBABILIDADE DE CORREÇÃO DE ERROS ALEATÓRIOS . . . . .	.10
2.7. ARRANJO PADRÃO . . . . .	.10
2.7.1. CLASSE LATERAL . . . . .	.10
2.7.2. CONSTRUÇÃO DO ARRANJO PADRÃO . . . . .	.10

2.8.	DECODIFICAÇÃO DE CÓDIGOS LINEARES . . . . .	11
2.8.1.	DECODIFICAÇÃO POR MÁXIMA VEROSSIMILHANÇA . . . . .	11
2.8.2.	DECODIFICAÇÃO POR TABELA DE SÍNDROME . . . . .	11
2.8.3.	DECODIFICAÇÃO PROBABILÍSTICA . . . . .	12
2.9.	PRINCIPAIS CÓDIGOS DE BLOCO LINEARES . . . . .	13
2.9.1.	CÓDIGOS DE REPETIÇÃO . . . . .	13
2.9.2.	CÓDIGO DE UM ÚNICO DÍGITO DE PARIDADE . . . . .	13
2.9.3.	CÓDIGOS DE HAMMING . . . . .	13

### CAPITULO 3

	CÓDIGOS CÍCLICOS . . . . .	15
3.1.	DESCRIÇÃO DE UM CÓDIGO CÍCLICO . . . . .	15
3.1.1.	DESLOCAMENTO CÍCLICO . . . . .	15
3.1.2.	DEFINIÇÃO DE UM CÓDIGO CÍCLICO . . . . .	15
3.2.	O POLINÓMIO GERADOR $g_{C(x)}$ . . . . .	16
3.3.	O POLINÓMIO DE VERIFICAÇÃO DE PARIDADE $h_{C(x)}$ . . . . .	17
3.4.	MATRIZES GERADORA E DE VERIFICAÇÃO DE PARIDADE DE UM CÓDIGO CÍCLICO . . . . .	17
3.5.	CODIFICAÇÃO DE CÓDIGOS CÍCLICOS . . . . .	19
3.5.1.	CODIFICAÇÃO COM $n-k$ ESTÁGIOS DE REGISTRADORES DE DESLOCAMENTO . . . . .	19
3.5.2.	CODIFICAÇÃO COM $k$ ESTÁGIOS DE REGISTRADORES DE DESLOCAMENTO . . . . .	20
3.6.	DECODIFICAÇÃO DE CÓDIGOS CÍCLICOS . . . . .	21
3.6.1.	DECODIFICAÇÃO DE MEGGITT . . . . .	21
3.6.2.	DECODIFICAÇÃO POR ARMADILHA PARA ERROS . . . . .	24
3.6.3.	DECODIFICAÇÃO POR LÓGICA DE MAIORIA . . . . .	25
3.7.	CÓDIGOS BCH BOSE. CHAUDHURI - HOCQUENGHEM <sup>A</sup> . . . . .	25
3.7.1.	DEFINIÇÃO DE CÓDIGOS BCH . . . . .	25



3. 8. CÓDIGOS REED-SOLOMON. . . . .	26
-------------------------------------	----

#### CAPITULO 4

CÓDIGOS MULTINÍVEIS PSEUDOCÍCLICOS. . . . .	27
4. 1. INTRODUÇÃO. . . . .	27
4. 2. GERAÇÃO DE CÓDIGOS MULTINÍVEIS PSEUDOCÍCLICOS. . . . .	27
4. 2. 1. CÓDIGOS CONSTACÍCLICOS E NEGACÍCLICOS. . . . .	28
4. 2. 2. EXISTÊNCIA DE FATORES PRIMITIVOS EM $X^d - b$ . . . . .	28
4. 2. 3. DETERMINAÇÃO DAS RAÍZES DE $X^d - b$ . . . . .	31
4. 2. 4. DETERMINAÇÃO DAS RAÍZES DE $X^d + b$ . . . . .	31
4. 2. 5. UMA COTA INFERIOR PARA $d$ . . . . .	32
4. 2. 6. CONSTRUÇÃO DE UMA CLASSE DE CÓDIGOS MULTINÍVEIS PSEUDOCÍCLICOS. . . . .	34
4. 3. DECODIFICAÇÃO ALGÉBRICA DE CÓDIGOS MULTINÍVEIS PSEUDOCÍCLICOS . . . . .	36
4. 3. 1. ALGORITMO DE DECODIFICAÇÃO. . . . .	37

#### CAPITULO 5

PROPRIEDADES ALGÉBRICAS DOS CÓDIGOS BCH. . . . .	46
5. 1. A COTA BCH. . . . .	46
5. 2. DECODIFICAÇÃO SIMPLIFICADA DE CÓDIGOS BCH. . . . .	48
5. 2. 1. MATRIZ DE VERIFICAÇÃO DE PARIDADE DOS CÓDIGOS BCH . . . . .	48
5. 2. 2. MATRIZ DE VERIFICAÇÃO DE PARIDADE REDUZIDA DOS CÓDIGOS BCH . . . . .	49
5. 2. 3. DETEÇÃO SIMPLIFICADA DE ERROS EM CÓDIGOS BCH . . . . .	50
5. 2. 4. CORREÇÃO SIMPLIFICADA DE ERROS EM CÓDIGOS BCH . . . . .	52
5. 3. DECODIFICAÇÃO SIMPLIFICADA DE CÓDIGOS BCH PERFURADOS. . . . .	52
5. 3. 1. POLINÓMIO LOCALIZADOR DAS PERFURAÇÕES $LC_x$ . . . . .	53
5. 3. 2. POLINÓMIO SÍNDROME $SC_x$ . . . . .	53
5. 3. 3. POLINÓMIO SÍNDROME MODIFICADO $TC_x$ . . . . .	54
5. 3. 4. OS COEFICIENTES DE MAIS ALTA ORDEM DE $TC_x$ . . . . .	54
5. 3. 5. DETEÇÃO SIMPLIFICADA DE ERROS EM CÓDIGOS BCH PERFURADOS. . . . .	56

5.3.6. CORREÇÃO SIMPLIFICADA DE ERROS EM CÓDIGOS BCH  
 PERFURADOS. . . . . 58

CAPÍTULO 6

DECODIFICAÇÃO POR ARMADILHA PARA ERROS EM CÓDIGOS CÍCLICOS. . . . . 59

6.1. DECODIFICAÇÃO POR ARMADILHA PARA ERROS (DECISÃO ABRUPTA). . . . . 59

    6.1.1. CAPTURA DOS ERROS. . . . . 59

    6.1.2. ALGORÍTMO DE DECODIFICAÇÃO POR ARMADILHA PARA ERROS. . . . . 62

6.2. DECODIFICAÇÃO POR ARMADILHA PARA ERROS (DECISÃO SUAVES). . . . . 65

    6.2.1. QUANTIZAÇÃO DA SAÍDA DO CANAL . . . . . 65

    6.2.2. DISTÂNCIA SUAVE. . . . . 65

    6.2.3. CÓDIGOS CÍCLICOS SUAVES. . . . . 66

    6.2.4. ARRANJO PARA CÓDIGOS CÍCLICOS SUAVES (CAC). . . . . 67

    6.2.5. ALGORÍTMO DE DECODIFICAÇÃO POR ARMADILHA PARA ERROS  
 SUAVES. . . . . 69

CAPÍTULO 7

CONCLUSÕES. . . . . 73

APÊNDICE

SÍNTESE DE REGISTRADORES DE DESLOCAMENTO. . . . . 75

BIBLIOGRAFIA E REFERÊNCIAS. . . . . 85

# CAPITULO 1

## 1. INTRODUÇÃO

O problema fundamental em um sistema de comunicação é o de reproduzir, de maneira confiável, a mensagem transmitida de um ponto a outro. Para solucionar este problema Claude Shannon criou em 1948 um novo ramo da matemática aplicada denominado de Teoria da Informação. [13].

Um sistema de comunicação é basicamente composto dos seguintes elementos [13]

Fonte : A fonte gera as mensagens que serão transmitidas ao destinatário.

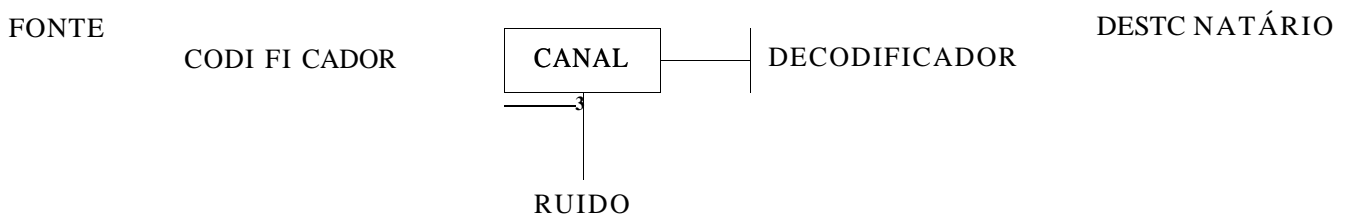
Codificador : O codificador transforma a mensagem recebida da fonte em sinais aceitáveis pelo canal.

Canal : É o meio pelo qual a mensagem codificada é transmitida.

Decodificador : Quando os sinais passam pelo canal sofrem distorções devido a presença de ruídos. O decodificador toma uma decisão de qual mensagem foi transmitida pela fonte a partir da mensagem recebida.

Destinatário : O decodificador entrega a mensagem estimada para o destinatário.

A figura seguinte mostra em diagrama de blocos o sistema de comunicação acima descrito.



Uma técnica empregada para resolver o problema descrito acima, faz uso de códigos corretores de erros. Será mostrado que o acréscimo de símbolos adicionais (Redundantes) aos símbolos produzidos pela fonte (Número de dígitos de informação) aumenta a probabilidade do decodificador estimar corretamente qual mensagem foi transmitida pela fonte. Claude Shannon, em 1948 através do teorema de codificação para um canal com ruído, estabeleceu que todo canal tem uma capacidade máxima de transmissão  $C$  e que para qualquer taxa de transmissão  $R < C$ , existem códigos de taxa  $R$ , os quais, com decodificação de máxima verossimilhança, têm uma probabilidade de decodificação errônea arbitrariamente pequena. Este teorema indica a existência de códigos que tornam a probabilidade de decodificação errônea arbitrariamente pequena, mas não indica como construir tais códigos [13 e [23.

A presença de ruído sobre o canal provoca erros durante a transmissão das mensagens. Estes erros podem ser de dois tipos

Erros aleatórios : Quando os erros são esporádicos e independentes, ou seja, um erro num determinado dígito de informação não afeta dígitos adjacentes.

Erros em surtos : Quando *occorrem* em surtos de vários erros de cada vez, diz-se neste caso que o canal tem memória.

Os códigos corretores de erros podem ser classificados em dois grandes grupos :

1) Códigos Lineares : Possuem seus dígitos redundantes calculados como uma combinação linear módulo  $q$  dos dígitos de informação.

2) Códigos Não-Lineares : Empregam lógica não linear tais como portas E, OU, NÃO OU, etc, para o cálculo dos dígitos de redundância.

Dependendo de como a redundância é adicionada aos dígitos de informação, dois tipos diferentes de códigos lineares são obtidos :

1> Códigos de Bloco : São aqueles em que os dígitos de redundância acrescentados a um bloco de dígitos de informação verifica a ocorrência ou não de erros, apenas naquele bloco.

2> Códigos de Árvore : São aquelas em que os dígitos de redundância em um bloco de dígitos verifica a ocorrência ou não de erros em mais de um bloco. A subclasse mais importante destes códigos é a dos códigos convolucionais, os quais são mais simples e de fácil implementação com relação a outros tipos de códigos de árvore.

Os objetivos da teoria da codificação são basicamente:

[63

1} Encontrar códigos longos e eficientes

2> Encontrar métodos de codificação e decodificação eficientes

3> Estabelecer limites de desempenho.

O objetivo principal deste trabalho é de apresentar de forma sistemática algumas propriedades e aplicações de códigos algébricos que permitem construir códigos algébricos e simplificar sua decodificação. Nos capítulos 2 e 3 é feita uma revisão dos códigos de blocos lineares e dos códigos cíclicos. No capítulo 4 a construção de uma classe de códigos multiniveis pseudociclicos bem como sua decodificação algébrica são apresentadas. No capítulo 5 são mostradas as propriedades algébricas dos códigos BCH que simplificam o processo de detecção e *carr&ç^o* dos erros. No capítulo 6 o método de decodificação por armadilha para erros (Error-trapping), é estudado na versão para decisão abrupta e decisão suave, finalmente no capítulo 7. são feitos comentários gerais, discutindo vantagens e restrições decorrentes do trabalho apresentado, bem como sugestões para futuras investigações.



#### 2.1.4. DISTÂNCIA MINIMA DO CODIGO

Definição 2.4. A distância mínima  $d$  de um código  $C$  é a menor distância de Hamming encontrada entre suas palavras-código, ou seja,  $H(v, u) > d$  para todo  $v, u \in C$ .

Podemos observar que

$$d = \min_{v, u \in C} H(v, u) \quad (C2.2)$$

#### 2.1.5. PALAVRAS-CÓDIGO

Os  $q$  vetores de  $C$ , são chamados de palavras-código. O processo de codificação consiste em adicionar  $n-k$  dígitos redundantes a cada uma das  $q$  mensagens possíveis de  $k$  dígitos, para formar uma palavra-código de comprimento  $n$ . Os dígitos redundantes são obtidos pela combinação linear dos  $k$  dígitos de informação. O código obtido é dito ter comprimento de bloco  $n$  e taxa  $R = k/n$ .

#### 2.2. MATRIZ GERADORA DE UM CÓDIGO LINEAR

Sendo um código linear  $C$  ( $C \subseteq V$ ) um subespaço, de dimensão  $k$ , do espaço vetorial  $V$  de todas as  $n$ -tuplas, é possível encontrar  $k$  palavras-código linearmente independentes,  $g_0, g_1, \dots, g_{k-1}$  em  $C$ , de forma que toda palavra-código  $v$  em  $C$  é uma combinação linear destas  $k$  palavras-código, ou seja,

$$v = m_0 g_0 + m_1 g_1 + \dots + m_{k-1} g_{k-1} \quad (C2.3)$$

onde  $m_i \in GF(q)$  para  $0 < i < k$ . Podemos formar uma matriz com estas  $k$  palavras-código linearmente independentes, ou seja, as  $k$  linhas da matriz  $k \times n$ .

$$G =$$

onde  $g_{10} = C_{10} g_{11} \dots a_{x, T>-i}^5$  para  $g_{tj}$  e GFCq),  $0 < 1 < k$  e  $0 < J < n$ .

Se  $m = \{m_0, m_1, \dots, m_{k-1}\}$  é a mensagem a ser codificada, a palavra-código correspondente pode ser obtida pela multiplicação de  $m$  pela matriz  $G$ .

$$v = m \cdot G$$

Como as linhas de  $G$  geram o código linear  $C$ , a matriz  $G$  é chamada de matriz geradora do código  $C$ .

### 2.2.1. MATRIZ GERADORA NA FORMA SISTEMÁTICA

Quando um código de bloco linear está na forma sistemática, as palavras-código são divididas em duas partes, uma parte correspondendo à mensagem e a outra à verificação de paridade ou redundância. A parte da mensagem consiste de  $k$  dígitos de informação inalterados e a parte de verificação de paridade consiste de  $n-k$  dígitos, que são uma combinação linear dos dígitos de informação [33]. Na figura abaixo mostramos o formato de uma palavra-código na forma sistemática.

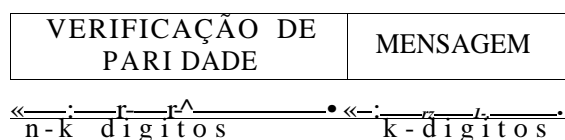


FIG. 2.1. - PALAVRA CÓDIGO NA FORMA SISTEMÁTICA

Um código linear  $C(n, k, d)$  na forma sistemática é completamente especificado por uma matriz  $G$ ,  $k \times n$ , da seguinte forma:

$$G = [ P \mid I_k ] \tag{C2.5}$$

onde  $P$  é uma matriz  $(n-k) \times k$  e  $I_k$  é a matriz identidade de ordem  $k$  [33].



### 2.3. MATRIZ DE VERIFICAÇÃO DE PARIDADE

Uma outra importante matriz associada com os códigos de blocos lineares é a matriz  $H$  de verificação de paridade. Dada uma matriz  $G$  de um código linear, com  $k$  linhas e  $n$  colunas existe uma matriz  $H$  com  $n-k$  linhas e  $n$  colunas, tal que qualquer vetor do espaço das linhas de  $G$  é ortogonal às linhas de  $H$  e qualquer vetor que é ortogonal às linhas de  $H$  está no espaço das linhas de  $G$ . Portanto,

$$v \cdot H^T = 0 \quad (v \in CC_{n,k,d}).$$

Se a matriz geradora de um código de bloco linear  $CC_{n,k,d}$  esta na forma  $G = [ P \quad I_k ]$  então a matriz de verificação de paridade poderá ser escrita na forma

$$H = [ I_{n-k} \quad -P^T ] \quad (2.6)$$

onde  $P^T$  é a matriz transposta da matriz  $P$  e  $I_{n-k}$  é a matriz identidade de ordem  $(n-k)$ . Um código linear  $CC_{n,k,d}$  é completamente especificado pela sua matriz  $H$ .

### 2.4 CÓDIGO DUAL

As  $q$  combinações lineares das linhas da matriz  $H$  formam um código linear  $C' = CC_{n, n-k, d'}$ . Este código é o espaço nulo do código linear  $CC_{n,k,d}$  gerado pela matriz  $G$ , ou seja, para todo  $v \in C$  e qualquer  $w \in C'$ ,  $v \cdot w = 0$ .  $C'$  é chamado de código dual de  $C$ . Desta forma a matriz de verificação de paridade do código linear  $C'$  é a matriz geradora do seu código dual  $C$ . [43].

### 2.5. SÍNDROME

Definição 2.5. Seja  $H$  a matriz de verificação de paridade de um código linear  $CC_{n,k,d}$ . A síndrome da enupla  $r = (r_0, r_1, \dots, r_{n-1})$  é o vetor

Assim podemos observar que  $S$  é um vetor com  $n-k$  componentes, ou seja,  $S = (s_0, s_1, \dots, s_{n-k-1})$ ; além disto estas componentes são todas nulas se e somente se  $r = Cr$ ,  $r = (r_0, r_1, \dots, r_{n-1})$  é uma palavra-código do código definido por  $H$ . Desta forma, quando  $S \neq 0$  os erros são detectados.

Sejam  $v = (v_0, v_1, \dots, v_{n-1})$  a palavra-código transmitida,  $r = (r_0, r_1, \dots, r_{n-1})$  a ênupla recebida e  $e = (e_0, e_1, \dots, e_{n-1})$  o vetor erro provocado pelo efeito do ruído sobre a palavra transmitida.

A relação entre estes três vetores é dada por:

$$r = v + e$$

Assim temos

$$S = rH^T = Cv + eH^T = eH^T \quad (C2.9)$$

e a síndrome contém informação sobre o vetor erro.

Seja  $H = (h_0, h_1, \dots, h_{n-1})$  onde  $h_i$  são as colunas de  $H$ ; então, da equação C2.9, temos que

$$S = \sum_i r_i h_i = \sum_i e_i h_i \quad \text{onde } e_i \in \{0, 1\} \quad (C2.10)$$

## 2.6. CAPACIDADE DE DETECÇÃO E CORREÇÃO DE ERROS DE UM CÓDIGO DE BLOCO LINEAR

### 2.6.1. CAPACIDADE DE DETECÇÃO DE ERROS ALEATÓRIOS

Se a distância mínima de um código de bloco linear  $C$  é  $d$ , então quaisquer duas palavras-código distintas diferem em pelo menos  $d$  posições. Portanto, para este código, nenhum padrão de erros com  $d - 1$  ou menos erros mudará uma palavra-código em outra. Quando uma palavra-código é transmitida, ocorrendo no máximo  $d - 1$  erros, a palavra recebida não será uma palavra-código e sua síndrome correspondente será diferente de zero, sendo portanto os erros detectados. 133

### 2. 6. 2. DISTRIBUIÇÃO DE PESOS DE UM CÓDIGO CC<sub>n,k,d</sub>

Seja um código linear CC<sub>n,k,d</sub>). Seja  $A_i$  o número de palavras-código de peso  $i$  em  $C$ . Os números  $A_0, A_1, \dots, A_n$  são chamados de distribuição de pesos do código  $C$ .

Se o código linear  $C$  é usado apenas para detecção de erros num canal simétrico binário CBSO, a probabilidade de que o decodificador falhe na detecção de erros pode ser obtida da distribuição de pesos de código  $C$ . Seja  $P_u^{(C)}$  a probabilidade de falha na detecção de erros; então

$$P_u^{(C)} = \sum_{i=1}^n A_i p^i (1-p)^{n-i} \quad (2.11)$$

onde  $p$  é a probabilidade de transição do canal simétrico binário CBSO. [33]

### 2. 6. 3. CAPACIDADE DE CORREÇÃO DE ERROS ALEATÓRIOS

**TEOREMA 2.1** Um código linear CC<sub>n,k,d</sub> corrige qualquer padrão de  $\lfloor t \rfloor$  ou menos erros, onde  $\lfloor t \rfloor$  denota o maior inteiro menor ou igual a  $t$  e  $t = (d-1)/2$ . [53]

**PROVA** : Assumiremos que  $c$  e  $r$  são respectivamente, os vetores transmitido e recebido. Da desigualdade triangular temos que

$$H(c,v) + H(c,r) < H(r,v) \quad (2.12)$$

Se  $v$  denota uma palavra-código diferente de  $c$ , então  $H(c,v) > d$ ; também por hipótese  $H(c,r) < \lfloor (d-1)/2 \rfloor$  então a equação (2.12) torna-se

$$\begin{aligned} d - \lfloor (d-1)/2 \rfloor &< H(r,v) \\ \lfloor (d-1)/2 \rfloor + 1 &< H(r,v) \end{aligned}$$

e portanto  $H(c,r) \geq H(r,v)$  para toda palavra-código  $v \neq c$ .

2. 6. 4. COTA SUPERIOR PARA A PROBABILIDADE DE CORREÇÃO DE ERROS ALEATÓRIOS

Se um código de bloco corretor de  $t$  erros é usado estritamente para *correção* de erros sobre um canal simétrico binário CBSO, com probabilidade de transição  $p$ , então a probabilidade do decodificador cometer uma decodificação errada é limitada pela seguinte cota superior [33]

$$P_{CEZ} < \sum_{i=t}^n C_i p^i (1-p)^{n-i} \dots \dots \dots (C2.13)$$

2. 7. ARRANJO PADRÃO

2.7.1. CLASSE LATERAL

Definição 2.6 Seja  $C \subseteq \mathbb{F}_q^n$  um código linear sobre um corpo com  $q$  elementos. Para qualquer vetor  $e$ , o conjunto

$$e + C = \{e + v : v \in C\} \dots \dots \dots (C2.14)$$

é chamado de classe lateral de  $C$ . [43. Além disso, o vetor de peso mínimo em uma classe lateral é chamado de Líder da Classe Lateral. [43.

2.7.2. CONSTRUÇÃO DO ARRANJO PADRÃO

Uma maneira apropriada de descrever a ação do decodificador é por meio de uma tabela, chamada arranjo padrão do código. O arranjo padrão produz uma partição do espaço vetorial de  $q^n$  ênuplas em  $q^{n-k}$  classes laterais, cada uma contendo  $q^k$  ênuplas. A primeira linha é formada pelas palavras-código com a palavra-código nula na primeira posição a esquerda, ou seja.

$$v_1 = 0, v_2, v_3, \dots, v_{q^k}$$

e as linhas seguintes são as outras classes laterais  $e_i + C$  arrumadas de mesma *forma*, e com o líder da classe lateral, não pertencente as classes anteriormente construídas, na primeira posição a esquerda, ou seja.

## 2.8. DECODIFICAÇÃO DE CÓDIGOS LINEARES

Qualquer procedimento de decodificação usado no receptor e uma regra de partição das  $q^n$  possíveis palavras recebidas em  $q$  subconjuntos disjuntos  $D^1, D^2, \dots, D^k$  de forma que a palavra código  $v$  está contida no subconjunto  $D^i$  para  $1 < i < q^n$ . Então cada conjunto  $D^i$  está associado a uma palavra-código  $v_i$ . Se o vetor  $r$  está contido em  $D^i$  então ele é decodificado como  $v_i$  [63]. O arranjo padrão é um método de partição útil como uma maneira de compreender a estrutura de códigos lineares porém não é fácil sua implementação como algoritmo de decodificação [63]. Apresentamos a seguir alguns métodos de decodificação.

### 2.8.1. DECODIFICAÇÃO POR MÁXIMA VEROSSIMILHANÇA

Este método consiste em comparar a palavra recebida  $r$  com todas as possíveis palavras-código, e aquela que possuir a menor distância de Hamming com relação a  $r$  é considerada como sendo a palavra-código transmitida. O problema neste procedimento é que o tempo necessário para decodificar uma  $n$ -tupla recebida torna-se muito longo, mesmo para valores moderados de  $k$ , tornando este processo de decodificação em geral inadequado. [63].

### 2.8.2. DECODIFICAÇÃO POR TABELA DE SÍNDROME

Este procedimento consiste em associar a cada síndrome não nula um padrão de erros corrigível. Como existe uma correspondência biunívoca entre as classes laterais e as síndromes, podemos escolher os líderes das Classes Laterais como padrões de erros mais prováveis, e aplicar o seguinte procedimento para decodificação [63].

## 2.9. PRINCIPAIS CÓDIGOS DE BLOCO LINEARES

### 2.9.1. CÓDIGOS DE REPETIÇÃO

Um código de repetição é caracterizado pelos seguintes parâmetros :

$$k = 1$$

$$c = n - k > 1$$

$$n = k + c = 1 + c$$

A distância mínima é  $d = n$  e a sua eficiência é  $R = 1/n$ ,

Neste código os  $n-1$  dígitos de redundância são uma repetição do único dígito de informação. [63].

### 2.9.2. CÓDIGO DE UM ÚNICO DÍGITO DE PARIDADE

Este código possui um único dígito de redundância por palavra e é obtido pela soma módulo  $p$   $C_p$  é a característica do corp } dos  $n - 1$  dígitos de informação [63].

Os parâmetros deste código são :

$$k > 1$$

$$c = 1$$

$$n = k + c = k + 1$$

A sua distância mínima é  $d = 2$  e sua eficiência  $R = k/n = k / (k + 1)$ .

### 2.9.3. CÓDIGOS DE HAMMING

Os códigos de Hamming foram os primeiros códigos não triviais desenvolvidos para corrigir erros [63]. Para qualquer inteiro  $m > 3$ , existe um código de Hamming com os seguintes parâmetros :

A matriz de verificação de paridade  $H$  do código de Hamming consiste de todas as  $2^m - 1$   $m$ -tuplas distintas e não nulas como colunas. Na forma sistemática a matriz  $H$  tem a seguinte forma

$$H = [I_m \mid Q]$$

onde  $I_m$  é uma matriz identidade de ordem  $m$  e a submatriz  $Q$  consiste de  $2^m - m - 1$  colunas que são as  $m$ -tuplas de peso maior ou igual a dois.

EXEMPLO : Para  $m = 3$  temos  $n = 2^3 - 1 = 7$  e então

$$H = \begin{bmatrix} 1 & 0 & 0 & 1 & 0 & 1 & 1 \\ 0 & 1 & 0 & 1 & 1 & 1 & 0 \\ 0 & 0 & 1 & 0 & 1 & 1 & 1 \end{bmatrix}$$

### CÓDIGOS PERFEITOS

Definição 1.8 Um código  $C$  com símbolos em  $\mathbb{F}_q$  e comprimento  $n$  é perfeito se e somente se

$$\sum_{i=0}^t \binom{n}{i} (q-1)^i = \frac{q^n - 1}{q - 1} \tag{C2.155}$$

Os códigos de Hamming são especiais no sentido de que é uma classe de códigos facilmente decodificada e também porque são perfeitos.

$$v(x) = v_0 + v_1 x + v_2 x^2 + \dots + v_{n-1} x^{n-1}$$

que é um elemento de  $R$ , o anel de polinómios módulo  $x^n - 1$  [53]. Multiplicando  $v(x)$  por  $x$  obtemos

$$\begin{aligned} x \cdot v(x) &= v_0 x + v_1 x^2 + \dots + v_{n-1} x^n \\ &= v_{n-1} + v_0 x + v_1 x^2 + \dots + v_{n-2} x^{n-1} \end{aligned}$$

desde que a multiplicação é módulo  $x^n - 1$ . Portanto, multiplicar por  $x$  em  $R$  é equivalente a um deslocamento cíclico. Do resultado acima podemos apresentar uma definição alternativa para códigos cíclicos, ou seja, um código cíclico de comprimento  $n$  é um ideal de  $R$ . Quando a representação por polinómios é usada nos referimos às palavras-código como polinómios-código. [53]

### 3.2. O POLINÓMIO GERADOR $g(x)$

**TEOREMA 3.1** Um conjunto de polinómios é um ideal se e somente se ele consiste de todos os múltiplos de algum polinómio. [103].

O teorema acima nos diz que todo ideal de  $R$  é um ideal principal; desta forma todo código cíclico tem um polinómio gerador, que denotaremos por  $g(x)$ . As propriedades do polinómio gerador  $g(x)$  podem ser determinadas a partir da teoria dos anéis de polinómios com coeficientes em um corpo de Galois  $G = \text{GF}(q)$ , módulo  $x^n - 1$ . [33].

Apresentaremos a seguir as principais propriedades de  $g(x) = \sum_{i=0}^{r-1} v_i x^i$ .

C1)  $g(x)$ , o polinómio mónico de menor grau em  $C$ , é único.

C2)  $g_0 = 1$

C3)  $g(x) \mid (x^n - 1)$





O circuito da figura 3.1. utiliza  $n-k$  registradores de deslocamento e prê-multiplica o polinómio  $mCxD$  por  $x^{n-k}$ . As conexões  $g_1, g_2, \dots, g_{n-k-i}$  são pesos associados aos coeficientes correspondentes em  $gCxD$ . Inicialmente, o registrador contém apenas zeros. A chave 1 é fechada e a chave 2 fica na posição 1; os dígitos de informação são então enviados simultaneamente á salda e ao circuito de divisão. Após a transmissão de  $k$  dígitos de informação, os  $n-k$  dígitos de verificação de paridade estão no resgistrador e então a chave 1 é aberta e a chave 2 é movida para a posição 2. Desta forma nos próximos  $n-k$  intervalos de tempo, os dígitos de verificação de paridade são transmitidos.

### 3. 5. 2. CODIFICAÇÃO COM $K$ ESTÁGIOS DE REGISTRADORES DE DESLOCAMENTOS

Podemos codificar as mensagens utilizando  $k$  estágios de registradores de deslocamento, porém as conexões de realimentação são obtidas a partir do polinómio de verificação de paridade  $hCxD$  (3).

O circuito é mostrado na figura abaixo:

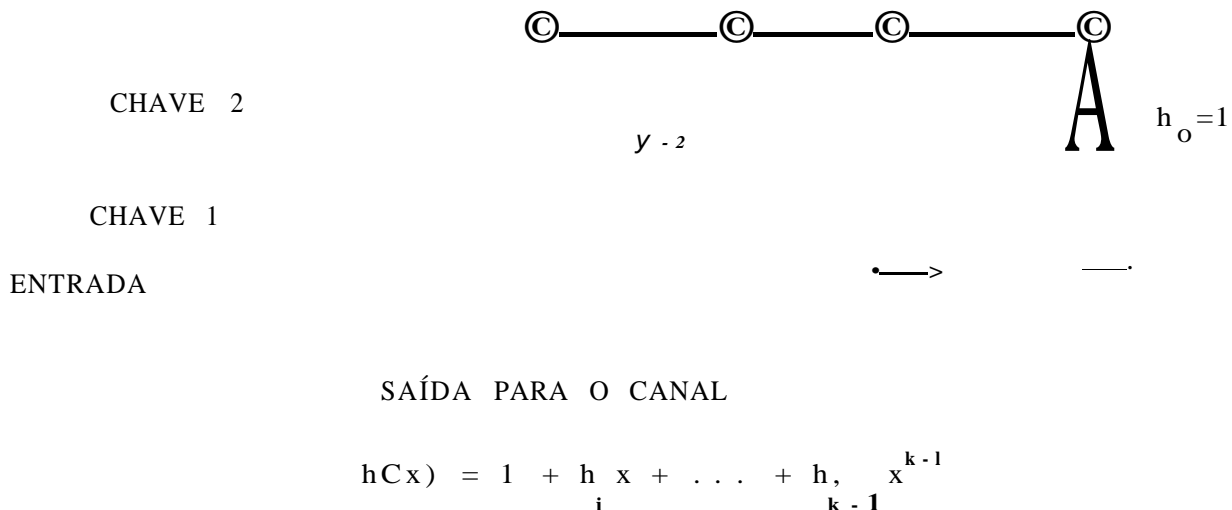


FIG. 3. 2 - CODIFICADOR COM  $K$  ESTÁGIOS DE REGISTRADORES DE DESLOCAMENTO.

corresponder a um padrão de erros com  $e \neq 0$ , o polinómio recebido  $r(x)$  (armazenado em um registrador) e o registrador da síndrome são deslocados ciclicamente e simultaneamente uma vez. Desta forma será obtido o vetor  $r^{(1)}(x)$  e o novo conteúdo do registrador da síndrome será  $s_1(x)$ . Agora o circuito decodificador verifica se  $s_1(x) = 0$  corresponde a um padrão de erros com um erro localizado na posição de ordem mais alta, ou seja,  $x^n$ .

Se a síndrome  $s_1(x)$  de  $r(x)$  corresponder a um padrão de erros com um erro na posição  $x^n$ , então o dígito  $r_n$  de  $r(x)$  deverá ser corrigido. O efeito do erro  $e$  sobre a síndrome  $s_1(x)$  é

$$e x^{n-1}$$

então removido, isto deverá ser feito subtraindo  $e x^{n-1}$  de  $s_1(x)$ .

Quando corrigimos a palavra recebida  $r(x)$  obtemos

$$p(x) = r_0 + r_1 x + \dots + r_{n-2} x^{n-2} + (r_{n-1} + e) x^{n-1}$$

Agora deslocando ciclicamente  $r(x)$  e o registrador da síndrome simultaneamente uma vez, obtemos

$$r_1(x) = r_{n-1} + r_0 x + \dots + r_{n-2} x^{n-2}$$

A síndrome  $s_1(x)$  de  $r_1(x)$  é o resto da divisão de  $x s_1(x) + x^3$  pelo polinómio gerador  $g(x)$ . Como o resto da divisão de  $x \cdot s(x) + x^n$  por  $g(x)$  são respectivamente  $s_1(x)$  e 1, então temos que

$$s_1(x) = s(x) + 1$$

Portanto, se 1 é adicionado os dígitos mais à esquerda do conteúdo do registrador da síndrome obtemos  $s_1(x)$ .

O circuito decodificador repete o procedimento acima, dígito por dígito, durante  $n$  passos.

Se  $e(x)$  foi um padrão de erros corrigível o conteúdo do registrador da síndrome deverá ser zero no final do processo de decodificação e a palavra recebida será corretamente decodificada. Se o conteúdo do registrador da síndrome for diferente de zero, no final do processo de decodificação, os erros serão apenas detectados. 133.

PASSO 3: O primeiro símbolo recebido é lido do registrador da palavra recebida. Ao mesmo tempo o registrador da síndrome é deslocado uma vez. Se o primeiro símbolo recebido está errado, ele é corrigido pela saída do detetor. A saída do detetor também serve para modificar o conteúdo do registrador da síndrome.

PASSO 4: A nova síndrome obtida no passo 3 é usada para detetar se o segundo símbolo recebido ( $C_{r_{t-2}}$ ) está correto. O decodificador repete os passos 2 e 3.

PASSO 5: O decodificador decodifica símbolo por símbolo da palavra recebida, até que toda a palavra ( $rC_x$ ) tenha sido lida do registrador da palavra recebida.

### 3. 6. 2. DECODIFICAÇÃO POR ARMADILHA PARA ERROS

A decodificação por armadilha para erros (error trapping) consiste numa variação do algoritmo de Meggitt, fazendo a restrição nos padrões de erros que serão corrigidos, ou seja, que o padrão de erros se espalhe por um número de dígitos. Ciclicamente consecutivos em deslocar ciclicamente, bit por bit, a síndrome da palavra recebida, observando sempre o seu peso ( $CW_s$ ). Quando o peso da síndrome torna-se menor ou igual a  $t$  (Número de erros corrigíveis), o padrão de erros coincide com a síndrome. Para corrigir basta somar o conteúdo do registrador da síndrome com o conteúdo do registrador da palavra recebida. Se após  $n$  deslocamentos não ocorrer que  $W_s$  seja menor ou igual a  $t$ , então os erros são detetados. Este procedimento é restrito essencialmente a códigos de baixa eficiência, pois para sua aplicação a condição  $n/k > t$  deve ser satisfeita. A decodificação por armadilha para erros foi inventada independentemente por Kasami [113], Mitchell [123] e [133] e Rudolph [93].

Uma explicação mais detalhada sobre esta técnica será dada em um capítulo subsequente.

3. 6. 3. DECODIFICAÇÃO POR LÓGICA DE MAIORIA

Este algoritmo baseia-se na formação de  $2J$  equações de verificação de paridade ortogonais na posição  $x^{*i}$  da palavra-código. Isto permite a correção de  $J$  erros por palavra. Quando  $2J = d - 1$  o código é dito completamente ortogonalizável. Este procedimento é aplicável a outros tipos de códigos de bloco e também a códigos convolucionais. [33 e [53.

3.7. CÓDIGOS BCH BOSE. CHAUDHURI-HOCQUENGHEM}

Estes códigos foram criados independentemente por Hocquenghem [1950] e por Bose e Chaudhuri [1960]. Os códigos BCH são cíclicos e representam a classe mais importante de códigos de bloco com algoritmos algébricos de decodificação. Para quaisquer inteiros positivos  $m, t$  ( $t < 2^m - 1$ ) existe um código BCH com os seguintes parâmetros

$$\begin{aligned} n &= 2^m - 1 \\ n - k &= c < mt \\ d > \delta &= 2t + 1 \end{aligned}$$

onde  $\delta$  é denominado distância projetada.

3. 7. 1. DEFINIÇÃO DE CÓDIGOS BCH

Um código BCH com distância projetada  $\delta$  sobre  $GFCq$  é um código cíclico cujo polinómio gerador  $g(x)$  é o polinómio mónico de menor grau sobre  $GFCq$  tendo

$$c^{*i}, \quad b < i < b + \delta - 2 \text{ como raízes; } 1. e.,$$

$$g(x) = \prod_{i=1}^{\delta} M^{(i)}(x), \quad \text{onde } M^{(i)}(x) \text{ é o polinómio mínimo de } a^i.$$

onde  $M^{(i)}(x)$  é o polinómio mínimo de  $a^i$ .

### 3. 8. CÓDIGOS REED-SOLOMON

Um código Reed-Solomon (RS) sobre  $\text{GF}(q)$  é um código BCH com comprimento do bloco  $q-1$  cujo polinómio gerador é

$$g(x) = \prod_{i=0}^{b-1} (x - \alpha^i) \quad \text{C3. 6)}$$

O grau de  $g(x)$  é  $b - 1$ , portanto

$$b = n - k + 1 \quad \text{C3. 7)}$$

e como, pela cota BCH,  $d > b$ , a distância mínima de um código RS satisfaz

$$d > n - k + 1$$

Então, considerando a cota superior de Singleton,  $d \leq n - k + 1$ , temos que

$$d \leq n - k + 1 \quad \text{C3. e)}$$

Portanto, podemos dizer que os códigos RS são uma família de códigos MDS (Códigos de distância máxima separáveis) [33].

## CAPITULO 4

## CÓDIGOS MULTINÍVEIS PSEUDOCÍCLICOS

4.1. INTRODUÇÃO

Vimos anteriormente que o polinómio gerador  $g(x)$  de um código cíclico é fator de  $x^n - 1$ . Desta forma, existem relativamente poucos códigos cíclicos para a maioria dos valores de  $n$  e  $k$ . Assim, é interessante procurar códigos lineares que mesmo não sendo verdadeiramente cíclicos, compartilhem a estrutura matemática e a fácil implementação dos códigos cíclicos. Os códigos pseudocíclicos [103] se enquadram nesta categoria. Neste capítulo descreveremos os procedimentos para geração e decodificação algébrica de uma classe de códigos multiníveis pseudocíclicos, cujos polinómios geradores são fatores de  $x^n - b$ , onde  $n = Cp^{ms} - 1$  é o comprimento do bloco,  $b$  é um elemento não nulo de  $\text{GF}(Cp^*)$  cuja ordem divide  $r$ ,  $p$  sendo um primo ímpar e  $s$  um inteiro [143].

A distância mínima destes códigos é estabelecida num caminho similar ao da prova da cota BCH [43], entretanto operando com polinómios módulo  $x^r - b$ . Os códigos obtidos são constacíclicos [153]. Demonstraremos como os códigos pseudocíclicos podem ser decodificados por um procedimento algébrico através do *empr&go* de uma transformação afim, que torna o código pseudocíclico um código cíclico, num campo de extensão  $\text{GF}(Cq^m)$ , sendo  $q = p^r$  e  $m$  um inteiro [163]. Usaremos a decodificação algébrica no domínio da frequência, por meio da transformada de Fourier de campo finito CTFCFD [53, [173] e usando o algoritmo de Euclides para determinação do polinómio localizador de erros [173].

4.2. GERAÇÃO DE CÓDIGOS MULTINÍVEIS PSEUDOCÍCLICOS

Nesta seção apresentaremos alguns lemas e um teorema que proporcionam a estrutura necessária para a construção dos códigos [143].

#### 4.2.1. CÓDIGOS CONSTACÍCLICOS E NEGACÍCLICOS

**DEFINIÇÃO 4.1** : Um código constacíclico consiste de palavras código que são múltiplas de um polinómio gerador  $g(x)$  módulo  $x^n - b$ , onde  $b$  é um elemento não nulo de  $\text{GFC}_p = \text{GFC}_q$ . Como consequência desta definição estes códigos são preservados por deslocamentos constacíclicos, ou seja; se  $(C_0, C_1, \dots, C_{n-1})$  é uma palavra-código então  $\{C_0, C_1, \dots, C_{n-1}\}$  também é uma palavra-código.

Quando  $b = -1$  então obtemos os códigos negacíclicos [103].

#### 4.2.2. EXISTÊNCIA DE FATORES PRIMITIVOS EM $x^n - b$

**LEMA 4.1** O polinómio  $x^n - b$  contém um fator primitivo se e somente se a ordem de  $b$  é  $r$ , para  $r < q - 1$ . Em caso contrário, nenhum dos seus fatores são primitivos.

**PROVA** Vamos supor que  $\alpha$  é uma raiz de um polinómio primitivo que é fator de  $x^n - b$ . Então segue que  $\alpha^{q^n} = b$ , onde  $n = \frac{q^m - 1}{r}$ ,  $p = q$ . Agora, se a ordem de  $b$  é  $r$ , onde  $1 < r \mid q - 1$ , então  $\alpha^{q-1} = b^{\frac{1}{r}} = 1$ , o que é uma contradição pois  $n \mid \frac{q^m - 1}{r} - 1$  e por hipótese a ordem de  $\alpha$  é  $q^m - 1$ . O caso em que  $r > q - 1$  é mostrado assumindo que  $\alpha$ , um elemento primitivo de  $\text{GFC}_q$ , é uma raiz de  $x^n - b$ . Portanto  $\alpha^{q-1} = b^{\frac{1}{r}} = 1$  o que novamente é uma contradição, pois  $n \mid \frac{q^m - 1}{r} - 1$  e  $q - 1 < \frac{q^m - 1}{r}$ .

Nos exemplos a seguir iremos considerar um alfabeto com cinco níveis, ou seja,  $q = p = 5$  e  $m = 2$ . Portanto o campo original será  $\text{GFC}_5$  e o campo de extensão  $\text{GFC}_{25}$ .

Na tabela I são mostrados os elementos de  $\text{GFC}_{25}$ , gerados pelas potências de um elemento primitivo  $\alpha$  que é raiz de  $f(x) = x^2 + x + 2$ .



EXEMPLO 4.1 : Para  $r = 4$  .  $n = 24 \times 4 = 6$

As raízes de :

$x^5 - 1$  são  $a^0, a^4, a^8, a^{12}, a^{16}, a^{20}$  e  $a^{24}$   
 $x^5 - 2$  são  $a^5, a^7, a^{11}, a^{13}, a^{17}, a^{21}$  e  $a^{23}$   
 $x^5 - 3$  são  $a^3, a^7, a^{11}, a^{15}, a^{19}, a^{23}$  e  $a^{27}$   
 $x^5 - 4$  são  $a^2, a^4, a^{10}, a^{14}, a^{18}, a^{22}$  e  $a^{26}$

Como os elementos primitivos de  $GFC(25)$  são :

$a, a^5, a^7, a^{11}, a^{13}, a^{17}, a^{19}, a^{23}$  e  $a^{25}$

E as ordens de 1,2,3 e 4 (modulo 5) são, respectivamente, 1, 4, 4 e 2, então apenas  $x^5 - 2$  e  $x^5 - 3$  possuem fatores primitivos.

EXEMPLO 4.2 Para  $r = 6$ ,  $C$  portanto  $r > q - 1 = 4$  )

temos  $n = 24/6 = 4$ .

Assim  $x^4 - 1, x^4 - 2, x^4 - 3$  e  $x^4 - 4$  não possuem nenhum fator primitivo. Podemos observar que as raízes de :

$x^4 - 1$  são  $a^0, a^6, a^{12}, a^{18}$  e  $a^{24}$   
 $x^4 - 2$  não possui raízes em  $GFC(25)$   
 $x^4 - 3$  não possui raízes em  $GFC(25)$   
 $x^4 - 4$  são  $a^3, a^4, a^{10}, a^{14}, a^{18}, a^{22}$  e  $a^{26}$

LEMA 4.2 : O polinómio  $x^n - b$ , onde  $n = Cq^m - D / r$  e  $b$  é um elemento não nulo de  $GFC(q)$ , possui todas suas raízes em  $GFC(q^m)$  se e somente se a ordem  $f$  de  $b$  divide  $r$ , ou seja;  $r = f \cdot u$  para algum inteiro  $u$ .

PROVA : Vamos supor que  $\theta$  é  $GFC(q^m)$  seja uma raiz de  $x^n - b$ , ou seja  $\theta^n = b$  (C1). Elevando ambos os membros de (C1) à  $r$ -iésima potencia temos  $(\theta^r)^n = b^r$  (C2). Porém,  $(\theta^r)^n = (\theta^n)^r = 1^r = 1$  e para a equação (C2) permanecer válida devemos ter  $b^r = 1$  que será verdade apenas se a ordem  $f$  de  $b$  divide  $r$ .

EXEMPLO 4.3 Para  $r = 1$  temos  $n = (24 - 1)/1 = 24$ .

Os polinômios da forma  $x^2 - b$  em GFC5) são  $x^2 - 1$ ,  $x^2 - 2$ ,  $x^2 - 3$  e  $x^2 - 4$ . Como foi visto, a ordem de 1 é 1, logo apenas o polinômio  $x^2 - 1$  possui todas suas raízes em GFC25), ou seja, as raízes de  $x^2 - 1$  são todos os elementos não nulos de GFC25}.

EXEMPLO 4.4 Para  $r = 2$  temos  $n = 24/2 = 12$

Como as ordens de 1 e 4 são 1 e 2, respectivamente, e ambas dividem  $r = 2$ , assim  $x^2 - 1$  e  $x^2 - 4$  possuem todas suas raízes em GFC25>. As raízes de  $x^2 - 1$  são todas as potências pares de  $a$  e as raízes de  $x^2 - 4$  são todas as potências ímpares de  $a$ .

EXEMPLO 4.5 Para  $r = 3$  temos  $n = 24/3 = 8$

Como a ordem de 1 divide  $r = 3$ , então  $x^3 - 1$  possui todas suas raízes em GFC25} são elas  $a^0=1$ ,  $a^3$ ,  $a^6$ ,  $a^9$ ,  $a^{12}$ ,  $a^{15}$ ,  $a^{18}$  e  $a^{21}$ .

EXEMPLO 4.6 Para  $r = 4$ ,  $n = 24/4 = 6$

Neste caso como as ordens de 1, 2, 3 e 4 dividem  $r = 4$  os polinômios  $x^4 - 1$ ,  $x^4 - 2$ ,  $x^4 - 3$  e  $x^4 - 4$  possuem todas suas raízes em GFC25}. As raízes de

$x^4 - 1$  são  $a = 1, a^4, a^8, a^{12}, a^{16}, a^{20}$   
 $x^4 - 2$  são  $a, a^5, a^9, a^{13}, a^{17}, a^{21}$   
 $x^4 - 3$  são  $a^3, a^7, a^{11}, a^{15}, a^{19}, a^{23}$   
 $x^4 - 4$  são  $a^2, a^6, a^{10}, a^{14}, a^{18}, a^{22}$

EXEMPLO 4.7 Para  $r = 6$  temos  $n = 24/6 = 4$

Neste caso as ordens de 1 e 4 dividem  $r = 6$ , assim os polinômios  $x^6 - 1$  e  $x^6 - 4$  possuem todas suas raízes em GFC2S). As raízes de :

$x^6 - 1$  são  $a = 1, a^6, a^{12}, a^{18}$   
 $x^6 - 4$  são  $a^3, a^9, a^{15}, a^{21}$

### 4.2.3. DETERMINAÇÃO DAS RAÍZES DE $X^n - b$

**LEMA 4.3** As raízes de  $x^n - b = 0$  são  $ct^{e+i\pi/r}$ .

$0 < i < n - 1$  contanto que  $c^{*en} = b$ , onde  $0 < e < r - 1$ .

**PROVA** Substituindo diretamente  $x$  por  $a^{e+i\pi/r}$  em  $x^n - b$  temos  $a^{(e+i\pi/r)n} - b = a^{en} - b = 0$ , pois  $a^{i\pi n/r} = ct^{i(\pi n/r)} = 1$ .

**EXEMPLO 4.8** Para  $r = 2$  temos  $n = 12$ . Vamos determinar as raízes de  $x^{12} - 1$ , para o que devemos inicialmente encontrar o valor de  $e$ ,  $0 < e < r - 1$ , tal que  $c^{*en} = b$ ; ou seja;  $0 < e < 1$ , tal que  $a^{en} = 1$ ; assim  $e = 0$ . As raízes de  $x^{12} - 1$  são da forma  $a^{e+i\pi/r}$ ,  $0 < i < n - 1$ , ou seja,  $a^{0+i\pi/2}$ ,  $0 < i < 11$ , que são as potências pares de  $a$ .

**EXEMPLO 4.9** Para  $r = 4$  temos  $n = 6$

Para determinarmos as raízes de  $x^6 - 3$  devemos encontrar um inteiro  $e$ ,  $0 < e < 3$ , tal que  $a^{en} = 3$ . Assim  $e = 3$  e as raízes de  $x^6 - 3$  são  $a^{3+i\pi/4}$ ,  $0 < i < 5$ , ou seja  $a^3, a^{3+i\pi/4}, a^{3+i\pi/2}, a^{3+i3\pi/4}, a^{3+i\pi}$ .

### 4.2.4. DETERMINAÇÃO DAS RAÍZES DE $X^n + b$

**LEMA 4.4** As raízes de  $x^n + b = 0$  são  $a^{e+i\pi/r}$ .

$0 < i < n - 1$ , contanto que  $ct^{en} = -b$ ,  $0 < e < r - 1$ .

**PROVA** : Substituindo  $x$  por  $a^{e+i\pi/r}$  em  $x^n + b$  temos  $a^{(e+i\pi/r)n} + b = a^{en} - a^{i\pi n/r} + b = 0$ . Entretanto,  $a^{en} = -b$ ,  $a^{i\pi n/r} = 1$  e como  $a$  é primitivo, temos que  $a^{r n/2} = a^{(i\pi n/r) \cdot 2} = -1$ . Substituindo estes valores em C3) temos  $-a^{en} + b = -(-b) + b = 0$ .

**EXEMPLO 4.10** Para  $r = 2$  temos  $n = 12$ . Vamos

determinar as raízes de  $x^{12} - 4 = x^{12} + 1$  e para tal precisamos encontrar um  $e$ ,  $0 < e < 5$  tal que  $c^{*en} = 1$ , então  $e = 0$ . Assim as raízes de  $x^{12} + 1$  são  $a^{e+i\pi/r}$ ,  $0 < i < 11$ , são elas :  $a^0, a^1, a^2, a^3, a^4, a^5, a^6, a^7, a^8, a^9, a^{10}, a^{11}$  e  $c^*$ .

EXEMPLO 4.11 Para  $r = 6$  temos  $n = 4$ . As raízes de  $x^4 - 1 = x^4 - 1$  serão determinadas, para o que devemos inicialmente encontrar um inteiro  $e$ ,  $0 < e < 5$ , tal que  $a^{*e} = 4$ , então  $e = 3$ . Assim as raízes de  $x^4 - 1$  são  $a, a^5, a^1, a^3$ , ou seja,  $a, a^5, a$  e  $a^3$  que são respectivamente 2, 4, 3 e 1.

Os lemas anteriores indicam como e quando é possível encontrar as raízes do polinómio  $x^d \pm b$ . O *teorema* a seguir nos dará uma cota inferior para a distância mínima dos códigos que serão construídos.

#### 4.2.5. UMA COTA INFERIOR PARA $d$

**TEOREMA 4.1** Seja  $a$  um elemento primitivo do campo de Galois  $\text{GFCq}^{\text{TM}}$  no qual  $x^n - b$  tem todas suas raízes.  $n = \text{Cq}^m - 1) / r$  e  $b$  é um elemento não nulo de  $\text{GFCq}$  cuja ordem divide  $r$ . Supondo que  $a^{i^{*e}}, 0 < i < d-2$ , são raízes de  $x^d - b = 0$  o código cujo polinómio gerador é o mínimo múltiplo comum  $\text{Cmmc}$  dos polinómios mínimos correspondendo as raízes  $a^{i^{*e}}$  acima, tem distância mínima pelo menos  $d$

**PROVA** O código que está sendo considerado está no espaço nulo da seguinte matriz, construída com um subconjunto das raízes de  $x^d - b = 0$ .

$$M = \begin{pmatrix} a^{-(t-1)n-2} & & & \\ C e t r) C r . - 2) & & & \\ C t t 2 r) C n - 1) & C e + 2 r) C n - 2) & & e + 2 r \\ C e t C d - 2) 10 C n - i) & C e t C d - 2) r) C n - 2) & & C d - 2) \\ a & & & \end{pmatrix}$$

Agora vamos considerar o determinante  $A$  formado com quaisquer  $d-1$  colunas de  $M$ .

$$\hat{u} = \begin{pmatrix} a_1 & a_2 & \dots & a_{d-1} \\ C(a_1, a_2, \dots, a_{d-1}) \end{pmatrix}$$

Fatorando os  $a_i$  da  $i$ -ésima coluna para todo  $i$

$$A = \begin{pmatrix} a_1 & a_2 & \dots & a_{d-1} \\ C(a_1, a_2, \dots, a_{d-1}) \end{pmatrix} = \begin{pmatrix} a_1 & a_2 & \dots & a_{d-1} \\ a_1 C(a_1, a_2, \dots, a_{d-1}) \end{pmatrix}$$

Portanto,  $h = c^* \begin{pmatrix} a_1 & a_2 & \dots & a_{d-1} \\ C(a_1, a_2, \dots, a_{d-1}) \end{pmatrix} A$

onde  $A_i$  é o determinante de Vandermonde; então

$$h = c^* \begin{pmatrix} a_1 & a_2 & \dots & a_{d-1} \\ C(a_1, a_2, \dots, a_{d-1}) \end{pmatrix} A$$

Porém,  $0 < a_i < n$  implica que  $0 < a_i < nr = q^m - 1$  e como, por hipótese,  $ct$  tem ordem  $q^m - 1$ , então  $ct^* CA^j = i$ . Então,  $ct^* O$  e portanto  $A \neq 0$ , garantindo que quaisquer  $d-1$  ou menos colunas de  $M$  são linearmente independentes. Conseqüentemente a distância mínima do código é pelo menos  $d$ .

4.2.6. CONSTRUÇÃO DE UMA CLASSE DE CÓDIGOS MULTITNIVEIS PSEUDOCÍCLICOS

Nos exemplos seguintes mostraremos como a teoria desenvolvida acima pode ser aplicada na construção de códigos corretores de erros. Vamos continuar utilizando um alfabeto com 5 níveis,  $q = p^r = 5$  e  $m = 2$ . Portanto o campo original é  $GFC_5$  e seu campo de extensão será  $GFC_{25}$ .

Na Tabela I são mostrados os elementos de  $GFC_{25}$ , onde o polinômio primitivo usado foi  $r(x) = x^2 + x + 2$ . Na Tabela II são mostrados os fatores irredutíveis de  $x^4 - 1$ , com os expoentes de suas respectivas raízes. Esta Tabela facilita a obtenção do polinômio gerador  $g(x)$ , uma vez que suas raízes tenham sido escolhidas.

**EXEMPLO 4.12** Para  $r = 2$  temos  $n = 12$ . Como vimos, os elementos de  $GFC_5$  cuja ordem divide 2 são 1 e 4 portanto os binômios a serem fatorados são  $x^{12} - 1$  e  $x^{12} - 4 = x^{12} + 1$ . Assim os códigos obtidos de  $x^{12} - 1$  são cíclicos e os obtidos de  $x^{12} + 1$  são negacíclicos.

Vamos supor que queremos obter um código cujo polinômio gerador  $g(x)$  e fator de  $x^{12} - 1$ , e que tenha distância mínima  $d = 4$ . Assim, pelo teorema anterior, o polinômio gerador deverá possuir três raízes consecutivas. Sejam  $a, a^2$  e  $a^4$  estas raízes, para  $0 < k < 11$ . Fazendo  $k = 0$ , temos  $a^0 = 1, a^2$  e  $a^4$ . Devemos encontrar os polinômios mínimos de  $a^0, a^2$  e  $a^4$ , ou seja,

$$\begin{aligned} M^0(x) &= x - 1 \\ M^2(x) &= x^2 + 3x + 4 \\ M^4(x) &= x^2 - x - 1 \end{aligned}$$

onde

$$M^i(x) \text{ é o polinômio mínimo de } a^{2^i}$$

Assim

$$\begin{aligned} g(x) &= \text{m.m.c. } \{M^0(x), M^2(x), M^4(x)\} \\ &= (x - 1)(x^2 + 3x + 4)(x^2 - x - 1) \\ &= x^5 - x^4 - 3x^2 + 5x - 4 \end{aligned}$$

O código obtido é um código cíclico  $C_b = 1$ ) com parâmetros  $n = 12$ ,  $k = 7$  e  $d = 5$ .

**EXEMPLO 4.13** Para  $r = 4$  temos  $n = 24/4 = 6$  e os polinômios geradores podem ser escolhidos como fatores de  $x^6 - 1$ ,  $x^6 - 2x^3 - 1$ ,  $x^6 - 3x^3 - 1$  e  $x^6 - 4x^3 - 1$ . No caso de  $x^6 - 4x^3 - 1$ , suas raízes são  $a, a^2, a^4, a^8$ , onde  $a^3 = 1$ . Para um código com distância mínima  $d = 2$  o polinômio  $g(x)$  basta ter uma raiz. Assim, podemos escolher  $x^6 - 3x^3 - 1$  ou  $x^6 - 2x^3 - 1$ , cujas raízes são  $a^2, a^4, a^8$  e  $a, a^2, a^4$  respectivamente.

Os códigos obtidos neste caso possuem parâmetros  $(6, 5, 2)$  e portanto são MDS (distância máxima separáveis), ou seja  $d = n - k + 1$ .

Outros códigos com distância mínima maior que 2 podem ser obtidos

$C(n, k, d)$	$g(x)$	Raízes de $g(x)$
$C(6, 3, 4)$	$x^3 + x^2 + 3x + 2$	$a^2, a^4, a^8$
$C(6, 1, 6)$	$x^6 - 4x^3 - 1$	$a^2, a^4, a^8, a, a^2, a^4$

Códigos constacíclicos são obtidos pela fatoração de  $x^6 - 2$ :

$C(n, k, d)$	$g(x)$	Raízes de $g(x)$
$C(6, 4, 3)$	$x^2 - 4x + 2$	$a, a^3$
$C(6, 2, 5)$	$x^4 - 4x^3 + 4x^2 - 2x + 4$	$a, a^5, a^2, a^4$

**EXEMPLO 4.14** Para  $r = 6$  temos  $n = 24/6 = 4$ . Como  $n = 2$ , temos  $n = (q^2 - 1)/(q - 1) = q + 1$ , assim, para valores de  $r = q + 1$ , o comprimento do bloco será  $q - 1$ . Os valores para  $b$  são 1 e 4. Assim, os polinômios geradores são fatores de  $x^4 - 1$  e  $x^4 - 4x^2 + 4 = (x^2 - 2)^2$ . Para  $x^4 - 1$ , suas raízes são  $a^0 = 1, a^1 = 2, a^2 = -1, a^3 = -2$  e  $x^4 - 1 = (x - 1)(x - 2)(x + 1)(x + 2)$ . Códigos Reed-Solomon sobre  $\text{GF}(5)$  são obtidos pela fatoração de  $x^4 - 1$ .

Para  $x^4 - 4 = x^4 - 1 + 1$  temos  $\alpha^{3+4i}$ ,  $0 < i < 3$  como raízes, ou seja  $\alpha^{3+4i}$ ,  $\alpha^{3+4j}$ ,  $\alpha^{3+4k}$  e  $\alpha^{3+4l}$ . Da Tabela II podemos observar que  $x^4 - 4 = (x - \alpha^p)(x - \alpha^{2^1})(x - \alpha^3)(x - \alpha^{1^5}) = (x^2 + 2)(x^2 - 2)$  possui dois polinômios irreduzíveis em  $\text{GFC}_{25}$  de grau 2; códigos corretores de um único erro podem ser formados, porém apenas se os símbolos do código pertencerem ao campo de extensão  $\text{GFC}_{25}$ .

### 4.3. DECODIFICAÇÃO ALGÉBRICA DE CÓDIGOS MULTINÍVEIS PSEUDOCÍCLICOS

Nesta seção demonstraremos como códigos pseudocíclicos podem ser decodificados por um procedimento algébrico. A ideia básica é o emprego de uma transformação afim, que faz do código pseudocíclico um código cíclico equivalente num campo de extensão  $\text{GFC}_{q^m}$  [163]. Usaremos a decodificação algébrica no domínio da frequência, por meio da transformada de Fourier de campo finito (TFCF) [53 e [173 e o algoritmo de Euclides para determinação do polinômio localizador de erros [173.

Para poder empregar corretamente a TFCF para vetores de comprimento  $n$ , faz-se necessária a utilização de um núcleo que tenha ordem  $n$ . Vimos na seção anterior que as raízes de  $x^n - b$  só contém fatores primitivos quando a ordem de  $b$  é  $r$ . Desta forma, com exceção do caso em que  $b = 1$ , o cálculo da síndrome não pode ser feita a uma transformada com inversa. Dessa forma, foi necessário utilizar uma transformação afim [103 para resolver esta dificuldade. O lema a seguir estabelece as condições que devem ser satisfeitas pela transformação afim utilizada [163.

**LEMA 4.5** Sendo  $\alpha^{3+4i}$ ,  $0 < i < a + d - 2$ .  $0 < a < n - 1$  as raízes consecutivas do polinômio gerador  $g(x)$ , a permutação afim  $x = \alpha^{3+4u} y$ ,  $0 < u < d - 2$ , transforma o código pseudocíclico em um código cíclico equivalente sendo  $\alpha$  primitivo em

**PROVA** A substituição de  $x = \alpha^{3+4u} y$  em  $x^n - b$  dá como resultado





visto que

$$VCa^{t+1}D = O$$

lembrando que

$$S = E \quad . \quad O < J < d - 2$$

onde

$$E = C \begin{pmatrix} E_0 \\ E_1 \\ E_2 \\ \dots \\ E_j \\ \dots \\ E_{n-1} \end{pmatrix} \quad ; \quad E_0, E_1, E_2, \dots, E_j, \dots, E_{n-1} \quad ; \quad > \quad \text{representa}$$

a TFCF de  $\langle eCyZ \rangle$ . Nesta etapa determinamos os primeiros  $d-1$  valores de  $E$ .

## 2. CÁLCULO DO POLINÓMIO LOCALIZADOR DE ERROS LCZ

Aplicar o algoritmo de Euclides ao par de polinómios  $Z^{d-1}$  e  $SCZ$ . Lembrar que  $SCZ$  é do grau  $d - 2 = 2t + 1 - 2 = 2t - 1$ . Parar quando o grau do polinómio resto for menor que  $t$  [173]. As localizações dos erros, na palavra recebida, são indicadas pelos expoentes dos valores recíprocos das raízes de  $LCZ$ .

## 3. DETERMINAÇÃO DO VETOR E ASSOCIADO AO POLINÓMIO ECZ

O vetor  $E$ , TFCF do vetor erro  $e$ , associado ao polinómio  $\langle eCx \rangle$ , é obtido por extensão recursiva a partir de  $\{LCZ\}$  e  $\{SCZ\}$  [173].

## 4. CÁLCULO DA TFCF INVERSA DE ECZ

A fim de determinar  $\langle eCy \rangle$  calcularemos a TFCF inversa de  $\langle ECZ \rangle$

$$e = C (e_0, e_1, e_2, \dots, e_{n-1})$$

onde

$$e_i = nC \text{ mod } p) \cdot E_j \cdot a^{r \cdot i}$$

porém  $rC \text{ mod } p) = Cp - 1 \cdot Vr$

e então resulta

$$e = r^{n-1} E \cdot cT^{r \cdot x} \cdot r / Cp - 1) \dots \dots \dots (C4.4)$$

5. APLICAÇÃO DA TRANSFORMAÇÃO AFIM INVERSA PARA OBTEN  $e(x)$

Com o intuito de obter  $eCx)$  aplicamos a transformada afim inversa.

6. CORREÇÃO DOS ERROS

Subtraindo  $eCx>$  de  $fCzO$  efetuamos a correção dos erros. i.e,

$$vCx> \ll fCx> - eCx> \dots \dots \dots (C4.5)$$

EXEMPLO 4.15 Vamos considerar o código pseudocíclico C6.2.50 com 5 níveis, ou seja  $p = 5$  e  $s = 1$ , obtido a partir da fatoração de  $x^5 - 2$ . Como foi visto anteriormente as raízes de  $x^5 - 2$  estão contidas em GFC25) e possuem os seguintes expoentes :  $1 + 4i$ ,  $0 < i < 5$ . Como a distância mínima é  $d = 5$  o polinómio  $gCx)$  deverá possuir 4 raízes consecutivas. Vamos escolher  $et^{2^1}$ ,  $a$ ,  $a^5$  e  $et$  como raízes. Usando a Tabela III, podemos determinar os polinómios mínimos de  $Ca. a^{2^2}>$  e  $Ca^p, a^{2^1})$

ou seja

$$Cx - cOCx - a^5) = x^2 + 4x + 2$$

$$Cx - a^p)Cx - a^{2^1}) = x^2 * 2$$

Assim o polinómio gerador  $gCx>$  e dado por

$$g(x) = Cx^2 + 4x - 2 \quad Cx^2 + 2) = x^2 + 4x^3 + 4x^2 + 3x + 4.$$

Seja  $f(x) = 3x^5 + x$  o polinómio recebido; a transformação

que se afim a ser utilizada é  $x = a^{2^i} y$ . Assim as raízes de  $g(x)$  tem os seguintes expoentes 0, 4, 8 e 12. Substituindo  $x$  por  $a^{2^i} y$  em  $f(x)$  obtemos :

$$\begin{aligned} f(a^{2^i} y) &= 3 (a^{2^i} y)^5 + a^{2^i} y \\ &= 3 a^5 y^5 + a^{2^i} y \\ &= 3 C 3a + D y^5 + a^{2^i} y \\ &= C 4a + 3 y^5 + a^{2^i} y \\ &= a^3 y^5 + a^{2^i} y \end{aligned}$$

$$f(y) = a^3 y^5 + a^{2^i} y$$

Seguindo os seguintes passos para decodificar  $f(x)$

### 1. CALCULO DO POLINÓMIO SÍNDROME SC2D .

$$S_0 = f(a^0) = f(1) = a^3 + a^{2^1} = 4a + 3 - 2a + 4 = a + 2 = a^{1^5}$$

$$S_1 = f(a^4) = a^3 (a^4)^5 + a^{2^1} a^4 = a^{2^3} + a = 2a - 3 + a = 3a + 3 = a^{1^5}$$

$$S_2 = f(a^8) = a^3 (a^8)^5 + a^{2^1} a^8 = a^{1^5} + a^5 = 3a + 4a + 3 = 2a + 1 = a^8$$

$$S_3 = f(a^{12}) = a^3 (a^{12})^5 + a^{2^1} a^{12} = a^{1^9} + a^p = a + 2 + 3a + 1 = 4a + 3 = a^3$$

Assim

$$S(Z) = a^3 Z^3 - a^8 Z^2 - 4 a^{1^5} Z + a^{1^5}$$

### 2. CALCULO DO POLINÓMIO LOCALIZADOR DE ERROS LCZ)

Antes de iniciarmos o cálculo, vale lembrar que :

$$L_0(CZ) = 0 \quad L_1(CZ) = 1$$

$$q_i(CZ) = \frac{r_{i-1}(CZ)}{r_{i-1}(CZ)} \quad \text{onde } q_i(CZ) \text{ é o quociente da divisão de } r_{i-2}(CZ) \text{ por } r_{i-1}(CZ)$$

$$e L_i(CZ) = L_{i-2}(CZ) - q_i(CZ) L_{i-1}(CZ)$$

Assim temos :

i	L CZ)	r CZ>	q CZ)
0	0	z <sup>4</sup>	—
1	1	a Z + c Z + a Z + ct	—
2	$\frac{-Ca^2 - 7a^2 + 14a}{Z+a} \cdot 5$	$\frac{12a^2 + 2c^2 + 12a^2 + 17}{a Z + c} \cdot Z + a$	$\frac{21 - 14}{a} \cdot Z + ct$
3	$\frac{1+La}{Z+a} \cdot 2c^2 \cdot Z + a^4$	$\frac{20}{a} \cdot Z + c \cdot 10$	$\frac{15}{a} \cdot Z + ct$

$$LCZ_2 = L_3 CZ_2 = \frac{1}{3} \{ Ca^2 Z + a^4 \} Ca^2 Z + a^4$$

$$LCZ_2 = 4Z^2 + 4Z + 4$$

Observe que os coeficientes de LCZ<sub>2</sub> são :

$$L_0 = 4, L_1 = 1 \text{ e } L_2 = 4.$$

### 3. CALCULO DO VETOR E

Temos que  $\sum_{t=0}^m E_t L_t = 0$  ou seja

$$E_{j-2} L_{j-2} + E_{j-1} L_{j-1} + E_j L_j = 0$$

Como os  $E^i$ ,  $0 < i \leq d - 2$ , já são conhecidos no cálculo da síndrome, ou seja,  $S_j = E_j$  para  $0 < j < 3$ , resta apenas calcular  $E_4$  e  $E_5$ . Neste caso  $m_0 = 0$  sendo

$$L_0 = 4, L_1 = 1 \text{ e } L_2 = 4$$

temos

$$E_{j-2} \cdot 4 + E_{j-1} + E_j \cdot 4 = 0$$

então

$$E_{j-2} = -\frac{1}{4} E_{j-1} - E_j$$

assim

$$E_4 = -\frac{1}{4} E_3 - 4E_2 = -\frac{1}{4} a^3 - 4a^2 = -a^2$$

$$E_5 = -\frac{1}{4} E_4 - 4E_3 = -\frac{1}{4} (-a^2) - 4a^3 = -c^2$$

e portanto :

$$\bar{E} = (Ca^{15}, a^{13}, a^8, a^3, a^4, a^{20})$$

que é a transformada CTFCF) de eCyX

#### 4. CÁLCULO DA TFCF INVERSA DE E

A transformada inversa de E é dada por

$$E^{-1} = \sum_{j=0}^{n-1} a^{ij} e_j$$

onde a é um elemento de ordem n de GFC25>. Usaremos a = a\* como núcleo da transformação.

Assim

$$E^{-1} = \sum_{j=0}^{n-1} a^{ij} e_j$$

$$e_0 = E_0 + E_1 + E_2 + E_3 + E_4 + E_5 =$$

$$= ct + a + a + a + a + ct = 0$$

$$e_1 = E_0 + E_1 + E_2 + E_3 + E_4 + E_5 =$$

$$= E_0 + E_1 + E_2 + E_3 + E_4 + E_5 =$$

De forma semelhante e calculamos todos os e a\*s.

Então

$$e = CO. a^{21}. O. O. O. a^3 \}$$

ou seja

$$e(Cy) = a^3 y^5 \cdot a^{21} y$$

#### 5. APLICAÇÃO DA TRANSFORMAÇÃO AFIM INVERSA PARA OBTER eCx)

$$y = x/a^{21} = a^3 x$$

então

$$e(Cx) = a^3 (Ca^3 x) + a^{21} (a^3 x)$$

$$= a^3 x + a^{24} x$$

$$= 3x^5 + 4x$$

6. CORREÇÃO DOS ERROS

$$vCx) = fCx3 - eCx) = O$$

Tabela I - Elementos de GFC25) usando o polinómio primitivo  $nCx) = x^2 + x + 2$ .

O				
1				
a		2a	$a^1 = 4a$	$a^{ip} = 3a$
<sup>2</sup>	4a + 3	a 3a ^ 1	$a = a 4 2$	$a^{20} = 2a 4 4$
Ct =	4a + 2	a 3a 4 4	<sup>15</sup> $a = a + 3$	$a^{21} = 2a 4 i$
3				
a —	3a + 2	1 0 = a 4	$a^{10} = 2a 4 3$	$a^{22} = 4a 4 1$
<sup>4</sup>	4a + 4	3a ^ 3	oi <sup>37</sup> a 4 1	<sup>23</sup> $a = <^a 4 c$
a =	2	1 2 4	a = 3	<sup>24</sup> a = 1
o =				
a =				

Tabela II - Fatores irreduzíveis de  $x^4 - 1$  e os expoentes das raízes correspondentes

POLINÓMIO	EXPOENTES DAS RAÍZES
$x^2 * x + 2$	C1 .5)
$x^2 + 4x + 2$	C1 3.17}
$x^2 + 2$	C9,21>
$x^2 + 2x \cdot 3$	
$x^2 * 3x + 3$	09.23 }
$x^2 \wedge 3$	C3.155
$x - 3$	C18}
$x^2 + 3x * 4$	C2.10}
$x - 2$	Ct»
$x^2 + 2x + 4$	C14,225
$x - 1$	CO}
$x^2 \wedge x 4 1$	C8.16)
$x + 1$	C125
$x^2 - x + 1$	C4.20}



Tabela III - Elementos de GFC25) usando o polinómio primitivo  $nCx) = x^2 + 4x + 2$ .

0					
1					
		2a	$a^{13}$	4a	$a^{1P} = 3a$
$ct^2 = a + 3$	a	$2a + 1$	$14$	$4a + 2$	$a^{20} = 3a + 4$
$ct^3 = 4a + 3$	$a^P$	$3a + 1$	$i^5$	$a + 2$	$a^{21} = 2a + 4$
$o^* = 2a + 2$	$a^{10}$	$4a + 4$	$10$	$3a + 3$	$a^{22} = a + 1$
$a^5 = 4a + 1$		$3a + 2$	$a^{17}$	$a + 4$	$a^{23} = 2a + 3$
$a^0 = 2$	$12$	4	$a^{1B}$	3	$a^{2*} = 4$ $= 1$



## 5.2. DECODIFICAÇÃO SIMPLIFICADA DE CÓDIGOS BCH

Apresentaremos lemas e teoremas que estabelecem as propriedades dos códigos BCH que permitem simplificar as operações no processo de decodificação, quando desejarmos detectar ou corrigir erros. O decodificador utiliza um conjunto de dígitos da síndrome com um comprimento que depende do número máximo de erros a serem detectados ou corrigidos E183.

### 5.2.1. MATRIZ DE VERIFICAÇÃO DE PARIDADE DOS CÓDIGOS BCH

Uma ênupla binária  $v = \langle v_0, v_1, \dots, v_{n-1} \rangle$  é uma palavra-código de um código BCH de comprimento  $n = 2^m - 1$  se e somente se o polinómio  $v(x) = v_0 + v_1 x + \dots + v_{n-1} x^{n-1}$  tem  $\alpha, \alpha^2, \dots, \alpha^{2t}$  como raízes, ou seja:

$$v(x) = v_0 + v_1 \alpha^i + v_2 \alpha^{2i} + \dots + v_{n-1} \alpha^{(n-1)i} = 0 \quad \text{C5.1}$$

para  $1 < i < 2t$ .

Podemos escrever a equação C5.1 na forma matricial mostrada abaixo:

$$\begin{bmatrix} v_0 & v_1 & \dots & v_{n-1} \\ v_0 & v_1 & \dots & v_{n-1} \\ \vdots & \vdots & \ddots & \vdots \\ v_0 & v_1 & \dots & v_{n-1} \end{bmatrix} \begin{bmatrix} 1 \\ \alpha^i \\ \alpha^{2i} \\ \vdots \\ \alpha^{(n-1)i} \end{bmatrix} = 0 \quad \text{C5.2}$$

$$(n-1 > i)$$

para  $1 < i < 2t$ . A igualdade dada por C5.2 nos diz que o produto interno de  $[v_0, v_1, \dots, v_{n-1}]$  por  $[1, \alpha^i, \alpha^{2i}, \dots, \alpha^{(n-1)i}]$  é nulo. Podemos então formar a seguinte matriz.

$$[H] = \begin{pmatrix} a & (A & a^{r-1} \\ \dot{C}a^2 \cdot 5 & \dot{C}a^{2.2} & Ca^5 & Ca^2 \cdot 5^{n-1} \end{pmatrix} \quad C5.35$$

$$1 \quad , \quad 2t. \quad . \quad 21.2 \quad 21.3 \quad \dots \quad , \quad 2t.n-1 \\ Ca^5 \quad ) \quad Ca^5 \quad ) \quad Ca^5 \quad \dots \quad Ca^5$$

Portanto de C5.3) se segue que se  $V = fV_0, V_1, \dots, V_{n-1}$  é uma palavra-código em um código BCH *carretar* de  $t$  erros, então:

$$[v3.fH3] = 0 \quad C5.45$$

O código é o espaço-nulo da matriz  $H$  e  $H$  é a matriz de verificação de paridade do código [33].

### 5.2.2. MATRIZ REDUZIDA DOS CÓDIGOS BCH

LEMA 5.1 : A matriz  $r \sim i \quad c \gg 1 \gg \frac{(1-H) \cdot X > J-7}{1}$ .  $0 < i < t-1$ .  $0 < 1 < n-1$ , tem posto  $t$ , onde  $X$  é um parâmetro,  $1 < X < 6-t$  e  $a$  é um elemento de ordem  $n$  de um campo de Galois.

PROVA : A prova segue os mesmos passos usados para provar o teorema da cota BCH. Temos que :

$$[M] = \begin{pmatrix} im_0^{+X} & im_0^{+X+2} & (m_0^{+X} > (n-1) > \\ a & a & a \\ (ru_0^{+X+1}) & (m_0 \cdot X \cdot 1) & < m_0^{+X+1} > < n-i > \\ a & a & a \end{pmatrix} \quad C5.55$$

$$1 \quad a \quad (m_0^{+X+1} \cdot 1 > \quad a \quad im_0^{-X+t} \cdot 2 > \quad (m_0^{+X+t} \cdot J > (n-1) >$$

Considere um determinante  $D$  formado pela seleção de quaisquer  $t$  colunas de  $[M]$ , onde  $b = m_0 + X$ .

PROVA Seja  $e_3$  a representação de um vetor erro contendo no máximo  $t$  erros, i. e., um vetor de peso menor ou igual a  $t_0$ , e  $v_3$  o vetor código transmitido,

A ênupla recebida  $r_3$  é dada por

$$r_3 = v_3 + e_3 \quad (C5.6)$$

Usando a matriz  $M_3$  do Lema 5.1 como a matriz de verificação de paridade, então segue que

$$M_3 \cdot r_3^T = M_3 \cdot v_3^T + M_3 \cdot e_3^T = M_3 \cdot e_3^T, \text{ desde que } M_3 \cdot v_3^T = 0$$

Considerando que foi assumido que  $e_3$  tem peso menor ou igual a  $t$ , o produto  $M_3 \cdot e_3^T$  pode ser escrito como

$$\begin{array}{ccc}
 \begin{array}{c} X_1 \\ \\ \\ Cl \end{array} & \begin{array}{c} a \\ \\ \\ 0 \end{array} & \begin{array}{c} X_1 \\ \\ \\ a \end{array} \\
 \begin{array}{c} \langle i \cdot X \rangle_i \\ \\ \\ \langle i_0 - i + X \rangle_1 \end{array} & \begin{array}{c} (X \cdot i) \\ \\ \\ (t_0 - i + X)_2 \end{array} & \begin{array}{c} \langle i \cdot X \rangle_1 \\ \\ \\ \langle i_0 - 1 + X \rangle_{v_i} \end{array} \\
 & & (C5.7)
 \end{array}$$

onde  $e_i$ ,  $1 < i < 6$  são as componentes não nulas do vetor erro  $e_3$ . Na forma polinomial  $e_3$  pode ser representado por  $e(x)$  como segue

$$e(x) = e^1 x^1 + e^2 x^2 + \dots + e_i x^i + \dots + e_6 x^6 \quad (C5.8)$$

Fazendo-se  $x = a$  em  $e(x)$ , onde  $0 < a < t_0 - 1$  e  $X$  é um parâmetro,  $1 < X < 6 - t_0$ , o lado direito de C5.8) coincide com C5.7). Também, pelo Lema C5.1D, a matriz produto dada por C5.7) pode ser um vetor coluna não nulo se e somente se  $e_i \neq 0$ , para pelo menos um valor de  $i$ , no intervalo,  $1 \leq i < t_0$ . Segue então o seguinte teorema.

$$eC(x) = \sum_{s=0}^{m-1} e_s \cdot x^s$$

$$s = p + i \quad s$$

O polinómio recebido  $rC(x)$  é então dado por

$$rC(x) = vC(x) + eC(x) \tag{C5.11}$$

ou

$$rC(x) = cC(x) - pC(x) + eC(x) \tag{C5.12}$$

5.3.1. POLINÓMIO LOCALIZADOR DAS PERFURAÇÕES  $LC(x)$

O polinómio localizador das perfurações é dado pela seguinte expressão

$$LC(x) = \sum_{s=1}^P n C_a^{s-1} (x-1) = \sum_{s=1}^P L_s x \tag{C5.13}$$

5.3.2. POLINÓMIO SÍNDROME  $SC(x)$

O polinómio síndrome  $sC(x)$  é dado pela seguinte expressão Í173.

$$SC(x) = \sum_{j=0}^{m-2} S_j x^j \tag{C5.14}$$

onde

$$S_j = rC_a^{(j)} = eC_a^{(j)} - pC_a^{(j)} \tag{C5.15}$$

desde que

$$cC_a^{(j \cdot m)} = 0, \quad 0 < j < m-2$$



Observando que

$$T_0 = L_0$$

$$T_1 = S_1 L_0 + S_0 L_1$$

$$T_i = S_i L_0 + S_{i-1} L_1 + \dots + S_{i-j} L_j$$

Como  $S_i = r C a^{m+i}$  5. temos que

$$T_i = r (a^{m+i}) L_0 + \dots + r (a^{m+v-j}) L_j$$

$0 < j < P$

os  $6 - 1 - p$  coeficientes de ordem mais alta de TCx5 são :

$$T = \mathbf{E} r (a^{m+i-j}) L \dots p < i < 6 - 2 \dots \text{C5.185}$$

expressão C5.185 pode ser simplificada utilizando a equação C5.145.

$$T = \mathbf{E} [e C a^{m+i-j} S^{p(i-j)}] L$$

Lembrando que

$$e C x 5 = \mathbf{E} [e C a^{m+i-j} S^{p(i-j)}] L \quad e \quad p C x 5 = \mathbf{E} [e C a^{m+i-j} S^{p(i-j)}] L$$

Temos

$$T = \mathbf{E} [e C a^{m+i-j} S^{p(i-j)}] L \quad e \quad p C x 5 = \mathbf{E} [e C a^{m+i-j} S^{p(i-j)}] L$$



$$T_i = \sum_{j=0}^{p-1} E_{s+p+i}^{(j)} \cdot \sum_{s=1}^p E_{s-1}^{(j)} \cdot L(ct^{s-1}) \quad -j > 1$$

$$T_i = \sum_{s=p+i}^{\infty} E_s^{(i)} \cdot \sum_{j=0}^{p-1} E_{s-j}^{(j)} \cdot L(ct^{s-j}) \quad -j > 1$$

mas  $\sum_{j=0}^{p-1} L(ct^{s-j}) = L(ct^{s-1})$  e então

$$T_i = \sum_{s=p+i}^{\infty} E_s^{(i)} \cdot L(ct^{s-1}) = \sum_{s=1}^p E_s^{(i)} \cdot L(ct^{s-1}) \quad \text{C5. 19}$$

como  $L(ct^{s-1}) = 0$  para  $1 \leq s < p$ , então

$$T_i = \sum_{s=p+i}^{\infty} E_s^{(i)} \cdot L(ct^{s-1}) \quad p < i < \delta - 2 \quad \text{C5. 20}$$

### 5.3.5. DETEÇÃO SIMPLIFICADA DE ERROS EM CÓDIGOS B. C. H PERFURADOS

O teorema seguinte estabelece as condições para simplificar o processo de decodificação dos códigos BCH perfurados usados para detecção de erros.

**TEOREMA 5.3 :** Quando um código BCH  $(n, k, \delta)$  perfurado em  $p$  dígitos é usado para a detecção de até  $t$  erros,  $t < \delta - p$ , o vetor recebido é uma palavra-código válida se e somente se o polinómio síndrome modificado  $TC(x)$  tem um conjunto de  $t$  coeficientes iguais a zero, escolhidos entre seus  $\delta - 1 - p$  coeficientes de mais alta ordem.

**PROVA :** Um conjunto particular de  $t$  coeficientes consecutivos de  $TC(x)$  contidos em seus  $\delta - 1 - p$  coeficientes de mais alta ordem podem ser escritos com ajuda da equação C5.20) da seguinte maneira

5.3.6. CORREÇÃO SIMPLIFICADA DE ERROS EM CÓDIGOS B. C. H  
PERFURADOS

TEOREMA 5.4 : A correção de erros. num código BCH  $C(n, k, 6)$  perfurado por  $p$  dígitos, pode ser realizada com um conjunto de  $2t^2 < n - k - p$  coeficientes consecutivos do polinómio da síndrome modificada  $T(x)$ , escolhidos entre seus  $n - k - p$  coeficientes de ordem superior.

PROVA A prova segue exatamente os mesmos passos usados para provar o teorema 3 com  $2t^2 = n - k - p$  [183].

## CAPÍTULO 6

### DECODIFICAÇÃO POR ARMADILHA PARA ERROS EM CÓDIGOS CÍCLICOS

O método de Meggitt para decodificação pode ser aplicado para qualquer código cíclico, porém algumas modificações são necessárias para sua implementação [33]. Apresentaremos uma variação prática do decodificador de Meggitt, chamada de decodificador por armadilha para erros (Error-trapping). A decodificação por armadilha para erros foi inventada independentemente por Kasanu, [113. Mitchell, [123 e [133 e Rudolph, [93. Este método é mais eficaz para a decodificação de códigos corretores de um único erro, alguns códigos corretores de dois erros e códigos corretores de erros em surtos. Quando este método é aplicado para códigos longos, com altas taxas e com larga capacidade de correção, ele torna-se muito ineficiente e a capacidade de correção de tais códigos é sacrificada. [33.

#### 6.1. DECODIFICAÇÃO POR ARMADILHA PARA ERROS (DECISÃO ABRUPTA)

##### 6.1.1. CAPTURA DOS ERROS

Se colocarmos algumas restrições sobre os padrões de erros que desejamos corrigir, o decodificador de Meggitt poderá ser implementado praticamente [33. Vamos restringir os erros que desejamos corrigir àqueles que estão confinados em  $(n-k)$  posições consecutivas, incluindo o caso em que as  $(n-k)$  posições ocupam o início e o fim da palavra. Com esta restrição, mostraremos que a correção e detecção de erros se resume praticamente em comparar o peso da síndrome com o valor de  $t$ , onde  $t$  é a capacidade de correção do código.

Vamos considerar um código cíclico  $(n,k,d)$  com polinómio gerador  $g(x)$  e supor que a palavra  $v(x)$  foi transmitida e corrompida por um padrão de erros  $e(x)$ . Então a palavra recebida será

$$rC(x) = vC(x) + e(x) \dots \dots \dots C6.13$$

Inicialmente vamos supor que os erros estejam confinados nas  $(n-k)$  posições de mais alta ordem, ou seja,  $x^k, x^{k+1}, \dots, x^{n-1}$  de  $rC(x)$ . Desta forma temos

$$e(x) = e_k x^k + e_{k+1} x^{k+1} + \dots + e_{n-1} x^{n-1} \dots \dots \dots C6.2D$$

Se  $rC(x)$  é ciclicamente deslocado  $(n-k)$  vezes os erros estarão confinados nas  $(n-k)$  posições de mais baixa ordem, ou seja, nas posições dos dígitos de paridade  $x^0, x^1, x^2, \dots, x^{n-k-1}$  de  $r^{(n-k)}C(x)$ .

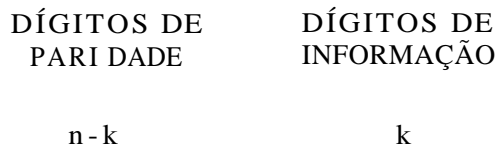


FIG. 6.1 - FORMATO DAS PALAVRAS-CÓDIGO

O padrão de erros correspondente será

$$e(x) = e_k + e_{k+1} x + \dots + e_{n-1} x^{n-1} \dots \dots \dots C6.32$$

Desde que a síndrome  $s(x)$  de  $rC(x)$  é igual ao resto da divisão de  $e(x)$  por  $g(x)$  e como o grau de  $e(x)$  é menor que  $(n-k)$ , obtemos a seguinte igualdade

$$s(x) = e(x) = e_k + e_{k+1} x + \dots + e_{n-1} x^{n-1} \dots \dots (b.4)$$

multiplicando  $s(x)$  por  $x^k$ , temos

$$x^k s(x) = e(x) = e_k x^k + e_{k+1} x^{k+1} + \dots + e_{n-1} x^{n-1} \dots \dots \dots CS. 52$$

Isto quer dizer que, se os erros estão confinados em  $(n-k)$  posições de mais alta ordem do polinómio recebido  $rC(x)$ , o padrão de erros  $e(x)$  é idêntico a  $s(x)$ . Quando este evento ocorrer simplesmente computamos  $s(x)$  e somamos  $x^k s(x)$  a  $rC(x)$ . O vetor resultante é a palavra código transmitida.

Se os erros não estão confinados nas  $C_n$ -JO posições de mais alta ordem, mas confinados em  $C_n$ -JO posições consecutivas  $x^i, x^{i+1}, \dots, x^{i+n-1}$  de  $r(x)$ , então  $r(x)$  é deslocado ciclicamente  $n-i$  vezes para a direita, os erros poderão ser confinados nas  $C_{n-k}$  posições de mais baixa ordem de  $r(x)$  e o padrão de erros será idêntico a  $x^i \dots x^{i+n-1}$  de  $r(x)$ , onde  $s(x)$  é a síndrome de  $r(x)$ . **CXJ.**

Portanto, se os erros estão confinados nas  $C_{n-k}$  posições que não são as  $C_n$ -JO posições de mais alta ordem de  $r(x)$ , após todo o vetor  $r(x)$  ter sido deslocado no registrador da síndrome, o conteúdo do registrador da síndrome deverá ser deslocado um certo número de vezes até ficar idêntico aos dígitos do vetor erro. Este procedimento é chamado captura dos erros (Error-trapping).

Mostraremos a seguir como detectar que os erros foram capturados no registrador da síndrome.

**TEOREMA 6.1** Se o número de erros em  $r(x)$  é menor ou igual a  $t$  e se eles estão confinados em  $C_{n-k}$  posições consecutivas, os erros estarão capturados no registrador da síndrome apenas quando o peso da síndrome no registrador torna-se menor ou igual a  $t$ . **£33.**

**PROVA** Um padrão de erros  $e(x)$  com  $t$  ou menos erros os quais estão confinados em  $C_{n-k}$  posições consecutivas, deve ser da forma  $e(x) = X^i B(x)$ , onde  $B(x)$  tem  $t$  ou menos termos não nulos e tem grau igual ou menor que  $n-k-1$ . Para o caso em que as  $n-k$  posições ocupam o fim e o início da palavra, a forma acima pode ser obtida com um certo número de deslocamentos.

Dividindo  $e(x)$  pelo polinômio gerador  $g(x)$ , temos

$$X^i B(x) = a(x)g(x) + s(x) \quad \dots \quad (6.65)$$

onde  $s(x)$  é a síndrome de  $X^i B(x)$ . Desde que  $s(x) + X^i B(x)$  é um múltiplo de  $g(x)$ , ele é um polinômio-código. A síndrome  $s(x)$  não pode ter peso menor ou igual a  $t$  sem que  $s(x) = X^i B(x)$ .

Suponha que o peso de  $s(x)$  é menor ou igual a  $t$  e que  $s(x) \neq X^i B(x)$ . Então  $s(x) + X^i B(x)$  é um vetor código não nulo com peso menor que  $2t + 1$ . Isto é impossível desde que o código corretor de  $t$  erros deve ter um peso mínimo maior ou igual a  $2t + 1$ .

Portanto, concluímos que os erros estão capturados no registrador da síndrome apenas quando o peso da síndrome torna-se menor ou igual a  $t$  [33].

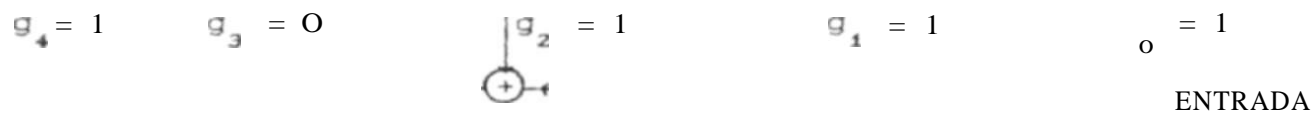
Podemos agora apresentar o algoritmo de decodificação por armadilha para erros.

### 6.1.2. ALGORITMO DE DECODIFICAÇÃO POR ARMADILHA PARA ERROS

- 1- PASSO: Cálculo da síndrome  $s(x)$
- 2- PASSO: Comparação do peso da síndrome  $W_s$  com  $t$  ( $W_s < t$ ?)
- 3- PASSO: Se  $W_s < t$  então os erros foram capturados e a síndrome é igual aos erros nas  $n-k$  posições correspondentes; soma-se a síndrome com  $r(x)$  e os erros são corrigidos.
- 4- PASSO: Se  $W_s > t$  desloca-se o conteúdo do registrador da síndrome com as realimentações ligadas para obter a nova síndrome  $s(x)$ .
- 5- PASSO: Após cada deslocamento compara-se o peso da síndrome  $s(x_j)$  com  $t$ .
- 6- PASSO: Se para algum  $i, 1 \leq i \leq n - 1, W_i \leq t$  então os erros foram capturados; soma-se  $r(x)$  com  $X^i s(x)$  e os erros são corrigidos.
- 7- PASSO: Se após o  $n$ ésimo deslocamento, sempre ocorre que  $W_s > t$ , então os erros não podem ser capturados e são apenas detectados.

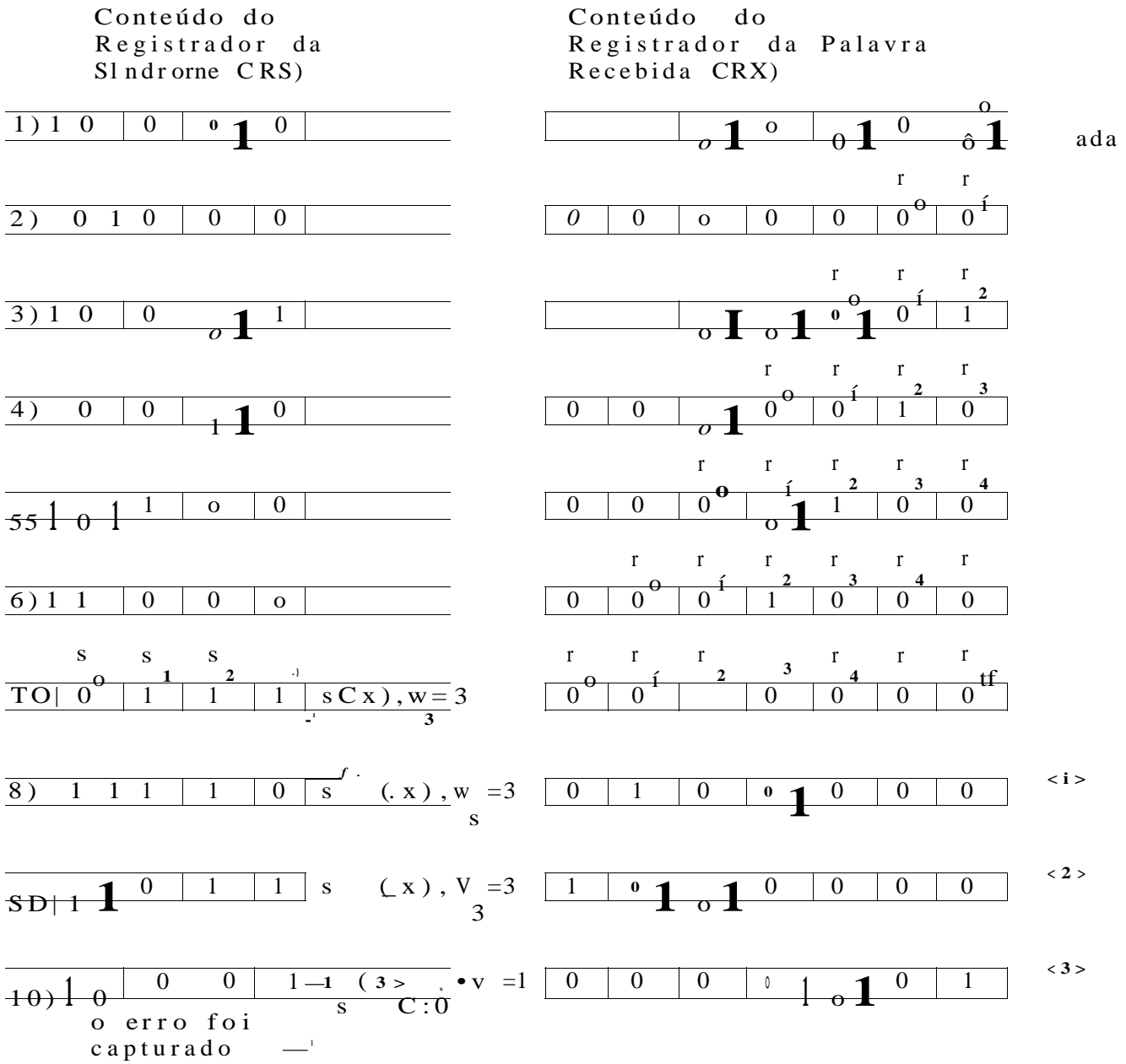
EXEMPLO 6.1 : Neste exemplo o decodificador será constituído basicamente de um registrador da palavra recebida  $r(x)$ , um circuito com realimentação linear e seu registrador da síndrome  $s(x)$  e um circuito feito com lógica combinacional para deteção do peso da síndrome  $W_s < t$ . Será apenas mostrado o conteúdo dos registradores da palavra recebida e da síndrome. Será considerado o código binário (7.3.4) com polinómio gerador  $g(x) = x^4 + x^2 + 1$  portanto,  $t = 1$ . A palavra recebida foi  $r = (0, 0, 1, 0, 0, 0, 0)$ .

Na figura seguinte é mostrado o circuito para cálculo da síndrome



FIO. 6.2 - CIRCUITO COM REALIMENTAÇÃO LINEAR PARA CÁLCULO DA SÍNDROME

Na página seguinte são mostrados os conteúdos dos registradores RS e RX durante todo o processo de decodificação da palavra recebida.



Fia. 6.3 - Conteúdo dos Registradores RS e RX

No instante 10 o peso da síndrome é igual a um e o erro é capturado.



## 6.2. DECODIFICAÇÃO POR ARMADILHA PARA ERROS SUAVES EM CÓDIGOS CICLICOS

Descreveremos um decodificador por armadilha para erros que usa eficientemente os níveis de saída do demodulador quantizados suavemente como parte integrante do processo de decodificação [193]. Este decodificador opera com símbolos muitiníveis, que são elementos de um corpo de Galois, usados para representar os níveis de saída do demodulador do sistema de comunicação.

### 6.2.1. QUANTIZAÇÃO DA SAÍDA DO CANAL

Em sistemas de comunicação, por razões práticas, frequentemente a tensão analógica na saída do demodulador é quantizada. É comum a escolha do número de níveis de quantização como uma potência de 2, ou seja,  $q = 2^m$  para simplificar futuros processamentos digitais [173].

Assumiremos que os níveis de quantização estão igualmente espaçados e serão atribuídos aos mesmos valores inteiros de 0 a  $q - 1$ . Esta escolha provoca uma queda de desempenho porém é atenuada quando oito ou mais níveis de quantização são usados [173].

Os elementos do corpo de Galois  $\{GF(2^m)\}$  serão usados para representar os níveis de saída do demodulador. Desta forma é necessário avaliar as implicações que tal atribuição tem sobre o conceito de distância suave.

### 6.2.2. DISTANCIA SUAVE

DEFINIÇÃO 6.1 A distância suave  $d_s$  entre dois níveis é o valor absoluto da diferença entre eles.

A diferença entre dois elementos de  $GF(2^m)$  coincide com sua distância suave quando um deles é uma  $m$ -tupla toda nula ou todas suas componentes são 1, ou seja, seus níveis são de máxima confiabilidade. Em geral a diferença entre um par de elementos do campo pode não coincidir com sua respectiva distância suave.

Entretanto, no processo de decodificação, as componentes da palavra recebida, que é quantizada suavemente, são comparadas com níveis de máxima confiabilidade das palavras-código válidas. Portanto não é necessário que os níveis atribuídos à saída do demodulador sejam separados por distâncias de Hamming, que coincidam com suas correspondentes distâncias suaves.

A representação dos níveis de decisão-suave por elementos do corpo de Galois, permite integrar as informações de decisão-suave no processo de decodificação por armadilha para erros, como será mostrado a seguir.

### 6.2.3. CÓDIGOS CÍCLICOS SUAVES

Considere um código cíclico binário  $C(n, k, d)$ , com polinómio gerador  $g(x)$  e comprimento  $n = 2^m - 3$

**DEFINIÇÃO 6.2** Um código cíclico suave de característica 2 é formado considerando como palavras-código todas as ênuplas com símbolos em  $GF(2^m)$  que satisfazem as equações de verificação de paridade do código cíclico binário  $C(n, k, d)$ . Resultando desta forma um código suave binário  $C(n, k, d)$ .

Num sistema de decisão-suave, com ausência de ruído, os níveis da palavra-código recebida devem ser de confiabilidade máxima, ou seja, m-tupias com todas as componentes iguais a zero ou um. Portanto a distância mínima entre palavras-código válidas é agora

$$d_s = Cq - 1) \dots \dots \dots (C6.7)$$

**EXEMPLO 6.2** : Considere o código de repetição  $C(3, 1, 3)$  cujo polinómio gerador é  $g(x) = x^2 + x + 1$ , então as palavras-código são  $(0, 0, 0)$  e  $(1, 1, 1)$ .

Vamos formar um código cíclico suave com característica 2, com símbolos em  $GF(4)$ . Os elementos de  $GF(4)$  podem ser representados por  $0, 1, a$  e  $a^2$ . Sendo a matriz de verificação de paridade

$$H = \begin{bmatrix} 1 & 1 & 0 \\ 0 & 1 & 1 \end{bmatrix}$$

Então o código cíclico suave será composto pelas palavras-código CO, O, 05 e  $Ca^2, a^2, a^25$ .

Como as palavras-código válidas são aquelas de máxima confiabilidade, ou sejam, CO, O, 05 e  $Ca^2, a^2, a^25$  então a distância mínima entre as palavras-código válidas é agora  $d = Cq-15d = 9$ .

O conceito de código cíclico suave é muito interessante porque ele fornece a estrutura necessária para o uso de propriedades de códigos lineares no contexto de decisão suave. Por exemplo, a decomposição do espaço das ênuplas quantizadas suavemente em classes laterais pode ser feita com um arranjo padrão suave, síndromes podem ser calculadas, etc. Entretanto nosso principal interesse é com a decodificação de códigos cíclicos usando armadilha para erros com decisão suave. Desta forma faremos o desenvolvimento teórico necessário através de lemas e teoremas.

**LEMA 6.1** Uma síndrome nula corresponde a uma palavra-código do código cíclico suave.

**PROVA** Pela definição todas as palavras - código do código cíclico suave satisfazem as equações de verificação de paridade  $u^m \cdot u^i = 0$  e portanto são múltiplas do polinómio gerador  $g(x)$ .

**LEMA 6.2** Os  $m - 1$  elementos  $a^i, 0 < i < m - 2$  de  $GFC(2^m, 5)$ , são linearmente independentes e por combinação linear apenas geram elementos de peso suave  $< 2^m - 15/2$ . [193]

#### 6.2.4. ARRANJO PARA CÓDIGOS CÍCLICOS SUAVES CACS5

O ACS é um arranjo retangular com linhas e colunas. A sua primeira linha é formada com palavras código de confiabilidade máxima, começando com a ênupla toda nula. Assim, : palavra com todas as componentes iguais a zero e o líder Cda classe lateral15 da primeira linha Cclasse lateral15. O lider da segunda linha é uma palavra-código suave, não usada anteriormente, de menor peso suave e o restante da linha é formado somando-se o seu líder à palavra-código de confiabilidade máxima situada no topo da coluna correspondente, ou seja, imediatamente acima.

A terceira e sucessivas linhas são formadas de maneira semelhante, começando sempre com uma palavra-código suave de menor peso suave que não tenha sido usada anteriormente.

TEOREMA 6.1 Os líderes do ACS tem peso suave  $w_s < t$  e portanto representam erros suaves corrigíveis.

PROVA Vamos supor que um líder  $L$  tem peso suave  $w_s > t + 1$ . Como a primeira linha do ACS possui apenas palavras código de peso suave  $d_s > t + 1$ , então existe pelo menos uma palavra-código suave de peso suave  $< t$  na linha onde  $L$  é líder. Porém isto contradiz a regra de construção do ACS.

TEOREMA 6.2 Qualquer palavra-código suave pode ser escrita como a soma, sobre  $GFC(2^m)$ , de uma palavra código suave de confiabilidade máxima e uma palavra código suave de peso  $< t$ .

PROVA Isto é uma imediata consequência da construção do ACS combinado com o resultado do teorema C6.1).

TEOREMA 6.3 O ACS tem  $2^{(k-1)*k}$  líderes que são compostos de elementos com peso suave  $< (2^m - 1)/2$ .

PROVA Pela definição, um código cíclico suave tem  $k$  posições de informação que são ocupadas pelos elementos de  $GFC(2^m)$ . Então, temos um total de  $2^{m-k}$  palavras-código suaves. O ACS possui  $2^k$  colunas e portanto  $2^k / 2 = 2^{k-1}$  linhas, ou seja,  $2^{k-1}$  líderes. A segunda parte deste teorema é uma consequência da aplicação do Lema C6.2) para códigos lineares.

TEOREMA 6.4 Uma versão binária de decisão abrupta de uma palavra-código suave recebida leva a uma palavra-código correta apenas quando o padrão de erros suaves é corrigível.

PROVA Conceitualmente, a decodificação de uma palavra-código suave  $v$  pode ser feita da seguinte maneira.

Primeiro localizamos a linha do ACS onde a palavra recebida  $v$  está localizada, então subtraímos o líder  $r$ , da linha, de  $v$ . O resultado é uma palavra-código suave de máxima confiabilidade  $c$ . Como  $d > 2t$  e pelo teorema C6.22 e lema CB.22, o líder  $r$ , tem peso suave  $< t$  é único e pode ser assumido como sendo padrão de erros suaves. Portanto, a palavra-código binária mais próxima é uma versão por decisão abrupta de  $c$ .

#### 6.2.5. ALGORITMO DE DECODIFICAÇÃO POR ARMADILHA PARA ERROS SUAVES

- 1— PASSO: Cálculo da síndrome suave  $sCx2$
- 2— PASSO: Comparação do peso suave da síndrome  $W_s$  com  $t$ .  $W_s < t$  onde  $t < J_d - 1/2 J$  e  $[x_j]$  é a parte inteira de  $x$ .
- 3— PASSO: Se  $W_s < t$  então uma versão da decisão abrupta da ênupla recebida é entregue ao destinatário, caso cada componente da síndrome tenha peso suave menor que  $q/2$ .
- 4— PASSO: Se  $W_s > t$  desloca-se o registrador da síndrome com as realimentações ligadas para obter a nova síndrome  $s' Cx2$ .
- 5— PASSO: Após o  $i$ -ésimo deslocamento compara-se o peso da síndrome obtida  $s^{(i)} Cx2$  com  $t$ .
- 6— PASSO: Se para algum  $i$ ,  $1 < i < n - 1$ ,  $W_s < t$  então um erro suave foi capturado e subtraí-se  $x^{(i)} Cx2$  de  $rCx2$ .
- 7— PASSO: Se uma palavra de máxima confiabilidade foi obtida, i.e., uma palavra-código onde cada componente é toda nula ou toda um, então os erros foram corrigidos.
- 8— PASSO: Caso contrário, continue o processo de deslocamento comparando  $W_s$  com  $t$ .
- 9— PASSO: Se após o  $n$ -ésimo deslocamento, nunca ocorreu que  $W_s < t$ , e se ocorreu a correção não levou a uma palavra código de máxima confiabilidade, então os erros não podem ser capturados e são apenas detetados.

**EXEMPLO 6.2 :** Considere o código binário C7.3.45 com polinômio gerador  $g(x) = x^5 + x^2 + 1$ . A saída do demodulador é quantizada em 8 níveis de amplitude, sendo cada nível representado por um elemento de GFC85, como mostrado abaixo.

				Nível de máxima confiabilidade
	1	1	1	C75 $a^5$
	1	1	0	CÔ5 $a^4$
	1	0	1	C55 $a^3$
Transição	1	0	0	C45
	0	1	1	C35 $a^2$
	0	1	0	C25 $a$
	0	0	1	C15 $a^0$
	0	0	0	C05 $r$
				Níveis de mínima confiabilidade
				Nível de máxima confiabilidade

FIG. 6.4 - Níveis de Decisão Suave em GFC85

A distância suave do código é dada por  $d_s = C8-154=28$ , portanto  $t = 13$ . Vamos supor que a ênupla  $r = (a, 0, 0, a, 0, 0, 0, 0, 5)$  é recebida.

A figura a seguir mostra o circuito usado neste exemplo para cálculo da síndrome suave.

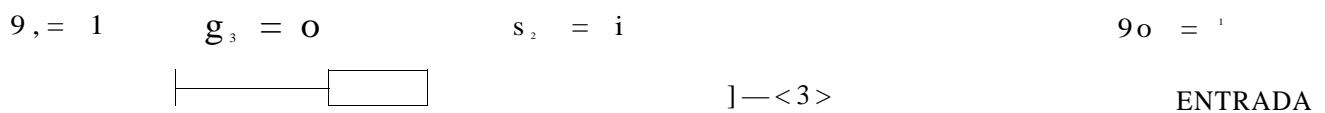


FIG. 6.5 - Circuito com Realimentação Linear para Cálculo da Síndrome Suave

O decodificador será constituído basicamente de um registrador da palavra recebida (RX) e um circuito para cálculo da síndrome com seu registrador da síndrome (RS).

Mostraremos em seguida no processo de decodificação da palavra recebida apenas o conteúdo do registrador da palavra recebida (RX) e do registrador da síndrome (RS).

Inicialmente a palavra recebida é deslocada em RX e RS para o cálculo da síndrome com todas as realimentações ligadas (passos 1 a 7 na figura abaixo); no passo 7, a palavra recebida está totalmente contida em RX e sua síndrome em RS, porém  $W = 15 > 13$ , desta forma é feito um novo deslocamento em RX e em RS com as realimentações ligadas. No passo 8, apesar de  $W = 13$ , podemos observar que o conteúdo de RS não é igual ao erro, portanto se somarmos o conteúdo de RS com as 4 posições de mais alta ordem de  $r^{*1} Cx$ ) não obteremos uma palavra de confiabilidade máxima, portanto é necessário continuarmos a deslocar RX e RS.

No passo 11,  $W = 13$  e os erros foram capturados. e agora podemos corrigir a palavra recebida. Esta correção é feita somando-se o conteúdo do registrador da síndrome com a palavra recebida deslocada convenientemente como mostrado. Além disto deveio ,ar que. erros deste tipo não são corrigidos na versão de decodificação por armadilha para erros com decisão abrupta.

Conteúdo do Registrador da Síndrome CRS2

Conteúdo do Registrador da Palavra Recebida CRX2

12	0	0	0	oi		0	0	0	0	0	0	oi <sup>5</sup>	Entrada
22	0	0	ct	0								oi <sup>15</sup>	
32	0	0	0	0								oi <sup>2</sup>	
42	ct	0	0	ct <sup>4</sup>								oi <sup>4</sup>	
52	0	a	1	oi								oi <sup>4</sup>	
62		1	•	0								oi <sup>4</sup>	
72	s <sup>0</sup>	s <sup>1</sup>	S <sup>2</sup>	s <sup>3</sup>	PESO SUAVE	r <sup>0</sup>	r <sup>1</sup>	r <sup>2</sup>	r <sup>3</sup>	r <sup>4</sup>	r <sup>5</sup>	r <sup>6</sup>	
	1	0	a	oi	sCx2, w <sub>s</sub> = 15	u	0	0	O <sup>4</sup>	0	0	O	rCx2
82	0	a <sup>4</sup>	ct <sup>4</sup>	1	s Cx2, w <sub>s</sub> = 13	0	0	ct <sup>4</sup>	0	0	0	ct	r t x2
92	a <sup>4</sup>	ct <sup>4</sup>	1	0	s <sup>(2)</sup> , Lx2, w <sub>s</sub> = 13	0	oi <sup>4</sup>	0	0	0	a <sup>15</sup>	0	r Cx2
102	oi <sup>4</sup>	a <sup>5</sup>	a <sup>4</sup>	ct <sup>4</sup>	s <sup>&lt;3&gt;</sup> Cx2, w <sub>s</sub> = 25	0	0	0	0	0	0	0	r <sup>(3)</sup> r n t x2
112	a <sup>5</sup>	0	0	a <sup>4</sup>	s <sup>&lt;4&gt;</sup> Cx2, w <sub>s</sub> = 13	0	0	0	a <sup>15</sup>	0	0	ct <sup>4</sup>	r <sup>(4)</sup> Cx2
os erros foram capturados													
122	0	oi <sup>5</sup>	1	oi <sup>5</sup>	s <sup>(5)</sup> Cx2, w <sub>s</sub> = 15	0	0	0	oi	0	0	0	r Cx2
132	Ti <sup>a</sup>	1	a	0	s <sup>&lt;&lt;5&gt;</sup> Cx2, w <sub>s</sub> = 15	0	0	0	0	0	0	0	r <sup>(5)</sup> Cx2

FIG. 6.6 - Conteúdo dos Registradores RS e RX



## CAPITULO 7

### CONCLUSÕES

Este trabalho apresentou de forma sistemática algumas propriedades dos códigos algébricos. Tais propriedades permitiram obter procedimentos para a construção de códigos, simplificação de alguns procedimentos de decodificação e melhoria no desempenho dos sistemas de comunicação digital através das técnicas de decisão suave na decodificação por armadilha de erros.

Nos três primeiros capítulos foi apresentada uma breve revisão dos códigos de bloco lineares, dos códigos cíclicos, com a intenção de dar o suporte necessário para a compreensão das propriedades e aplicações dos códigos algébricos.

No capítulo 4, baseado nas propriedades algébricas dos polinómios sobre um corpo de Galois  $\text{GFC}_q$ , foi mostrado um procedimento sistemático para a construção de uma classe de códigos multini. - 'pseudocíclicos. Es'  $\Rightarrow$  capítulo é rico em exemplos que facilitam a *compreensão* dos principais teoremas e lemas utilizados. Na segunda parte deste capítulo foi mostrado como estes códigos podem ser decodificados por um procedimento algébrico. Para este fim, foi utilizada uma transformação afim que faz do código pseudocíclico um código cíclico equivalente num campo de extensão  $\text{GFC}_{q^2}$ . Um aspecto interessante deste capítulo foi a geração de códigos MDS (distância máxima separáveis) pseudocíclicos. Estes códigos têm a vantagem de possuir algumas propriedades dos códigos cíclicos adequadas para codificação e decodificação.

No capítulo 5 foram apresentadas as principais propriedades algébricas dos códigos BCH. Os resultados obtidos mostram que o trabalho de decodificação é função do número de erros a serem detetados ou corrigidos. Isto implica por exemplo na redução da complexidade do processo de encontrar o polinómio localizador de erros, quando a correção de erros é realizada, reduz-se o número de passos e explora-se polinómios de graus menores.

No capítulo 6 o método de decodificação por armadilha para erros foi apresentado nas versões por decisão abrupta e por decisão suave. A segunda versão utilizou eficientemente os níveis de saída do demodulador, quantizados suavemente, como parte integrante do processo de decodificação. Foi visto, por exemplo, que alguns erros não corrigidos pela versão por decisão abrupta são corrigidos pela versão de decisão suave.

Como sugestão para pesquisas futuras seria interessante estudar as propriedades apresentadas, principalmente a decodificação por armadilha para erros, no domínio da frequência, com o uso da transformada de Fourier de campo finito.

Vale a pena mencionar que os tópicos tratados no capítulo 4 são de grande interesse atual [20-243] e certamente continuam a *merecer* a atenção daqueles que se dedicam à codificação algébrica.

## APÊNDICE

### SÍNTESE DE REGISTRADORES DE DESLOCAMENTO

#### 1. INTRODUÇÃO

Neste apêndice apresentamos um algoritmo e respectivo programa em linguagem BASIC para síntese do menor registrador de deslocamento com realimentação linear (LFSR) que pode gerar uma dada sequência finita de dígitos. O algoritmo apresentado coincide com o algoritmo iterativo introduzido por Berlekamp para decodificação de códigos BCH.

#### 2. PROPRIEDADES DOS COMPRIMENTOS DOS LFSR's

Um registrador de deslocamento, com realimentação linear (LFSR) geral de comprimento  $L$  é mostrado na figura 1 e consiste de uma ligação em série de  $L$  células de retardo, ou armazenadores, com possibilidade de formar uma combinação linear dos seus conteúdos, que serve como entrada para seu primeiro estágio.

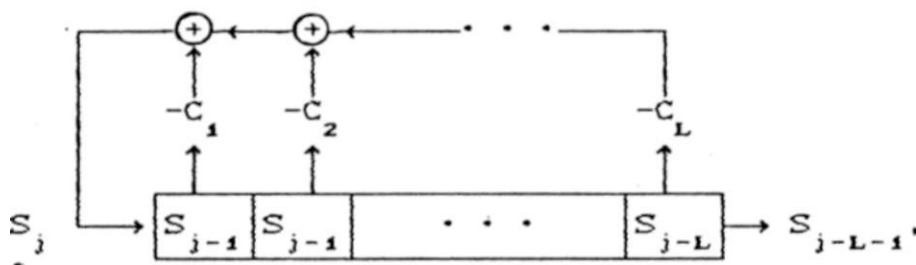


FIGURA 1

A saída do LFSR é assumida como sendo o conteúdo do último estágio. O conteúdo inicial  $S_0, S_1, \dots, S_{L-1}$  dos  $L$  estágios coincide com as  $L$  primeiras saídas e os dígitos restantes da saída são unicamente determinados pela seguinte fórmula recursiva.

Os dígitos de salda e os coeficientes de realimentação  $C_0, C_1, \dots, C_{L-1}$  são considerados como pertencendo ao mesmo corpo  $F$ , o qual pode ser um corpo finito  $GFC_q$  ou um corpo infinito, tal como o corpo dos números reais. No nosso caso, trabalharemos em  $GFC_2$ . Não é necessário que  $C_{L-1} \neq 0$  (O Cou seja, o último estágio do LFSR não precisa ser conectado).

Um LFSR é dito gerar uma sequência finita  $S^0, S^1, \dots, S^{L-1}$  quando esta sequência coincide com as primeiras  $L$  saídas do LFSR para alguma condição inicial. Se  $L > N$ , o LFSR sempre gera a sequência. Se  $L < N$ , segue de C1) que o LFSR gera a sequência se e apenas se:

$$S_j - \sum_{i=0}^{L-1} C_i S_{j-i} = 0 \quad j = L, L+1, \dots, N-1 \dots C2)$$

**TEOREMA 01** [253] Se algum LFSR de comprimento  $L$  gera a sequência  $S^0, S^1, \dots, S^{L-1}$ , mas não gera a sequência  $S^0, S^1, \dots, S^{L-1}, S^L, S^{L+1}, \dots, S^{N-1}$ , então qualquer LFSR que gera a última sequência tem comprimento  $L' > N + 1 - L$ , satisfazendo

$$L' > N + 1 - L \dots C3)$$

**LEMA 01** [253] Se algum LFSR de comprimento  $L$  (CS) gera  $S^0, S^1, \dots, S^{L-1}$  mas não gera  $S^0, S^1, \dots, S^{L-1}, S^L$ , então

$$L_{N+1}(Cs) > \max_{L \leq L' \leq N} \{L'(Cs) \cdot (N + 1 - L'(Cs))\}$$

### 3. ALGORITMO PARA SÍNTESE DE LFSR's

Nesta etapa, demonstraremos um teorema que estabelecerá a validade do algoritmo de síntese.

**TEOREMA Q2** . Se algum LFSR de comprimento  $L$  (CS) que gera a sequência  $S^0, S^1, \dots, S^{L-1}$ , também gera  $S^0, S^1, \dots, S^{L-1}, S^L$ , então:  $L_{N+1}(Cs) = L_N(Cs)$ . Inversamente, se algum LFSR de comprimento  $L$  (CS) que gera  $S^0, S^1, \dots, S^{L-1}$ , não gera  $S^0, S^1, \dots, S^{L-1}, S^L$ , então

$$L_{N+1}(Cs) = \max_{L \leq L' \leq N} \{L'(Cs) \cdot (N + 1 - L'(Cs))\}$$

PROVA : Definiremos o Polinómio de Conexão do LFSR da figura 1, como sendo o polinómio:

$$C(D) = 1 + C_1 D + C_2 D^2 + \dots + C_L D^L \quad (C4)$$

que possui grau  $< L$ . Por convenção tomaremos  $C(D) = 1$ , para o LFSR de comprimento  $L = 0$ .

Quando  $S_0, S_1, \dots, S_{N-1}$  são todos zeros, mas  $S_N \neq 0$ , então  $L(C_s) = N + 1$ , desde que qualquer LFSR menor deve ser carregado inicialmente com zeros e então deve gerar apenas zeros. Além disso qualquer LFSR com  $L = N + 1$  gera a sequência  $S_0, S_1, \dots, S_{N-1}, S_N$  neste caso.  
Para um dado  $S$ , seja

$$C^{<N>}(D) = 1 + C_1^{<N>} D + \dots + C_L^{<N>} D^L \quad (C5)$$

O polinómio de conexão para o LFSR de mínimo comprimento  $L(C_s)$  que

$S_{N-1}$ . Por hipótese indutiva, vamos assumir que  $L(C_s)$  e  $C^{<N>}(D)$  foram encontrados para  $N = 1, 2, \dots, n$ , com a igualdade obtida no Lema OI para  $N = 1, 2, \dots, n-1$ . Tentaremos encontrar  $L_{n+1}(C_s)$  e algum  $C^{<n+1>}(D)$  e mostrar a igualdade obtida no Lema OI para  $N = n$ .

Pela hipótese indutiva, temos de C2) que

$$S_j = \sum_{i=1}^{L(C_s)} C_i^{<n>} S_{j-i} \quad \text{for } 0 \leq j \leq n-1 \quad (C6)$$

Se  $d = 0$ , então este LFSR também gera os primeiros  $n + 1$  dígitos de  $S$ . Então  $L_{n+1}(C_s) = L_n(C_s)$  e podemos escolher  $C^{<n+1>}(D) = C^{<n>}(D)$ .

Se  $d_n = 0$ , um novo LFSR deve ser encontrado para gerar os primeiros  $n + 1$  dígitos de  $S$ . Neste caso seja  $m$  o comprimento de uma sequência antes da mudança de comprimento do registrador de comprimento mínimo, ou seja:

$$\begin{aligned} L(C_s) &< L(C_s) \\ L^{(m)}(C_s) &= L^{(i)}(C_s) \\ L^{(m+1)}(C_s) &= L^{(r)}(C_s) \end{aligned}$$

Desde que uma mudança de comprimento foi requerida, LFSR com polinómio de conexão  $C^{(m)}(CD)$  e comprimento  $L(C_s)$  não pode gerar a sequência  $S_0, S^1, \dots, S^{m-1}$ . Portanto de  $C_2$  temos:

$$\begin{aligned} L(C_s) &= L(C_s) + 1 + \dots + m - 1 \\ S_0, S^1, \dots, S^{m-1} &= C^{(m)}(S) \end{aligned} \quad \dots C8)$$

Pela hipótese indutiva, o Lema OI permanece válido com a igualdade para  $N = m$ . Então

$$L^{(m+1)}(C_s) = L^{(n)}(C_s) = \max_{1 \leq i \leq m} [L^{(i)}(C_s), m + 1 - L^{(i)}(C_s)]$$

Neste caso devido a equação C7) temos

$$L^{(n)}(C_s) = m + 1 - L^{(m)}(C_s) \quad \dots C9)$$

podemos dizer agora que o polinómio de conexão

$$CCD) = C^{(n)}(CD) - d_n \cdot d_n^{m-1} D^{n-m} C^{(n)}(CD) \quad \dots C10)$$

é válido para escolha de  $C^{(n+1)}(CD)$ . Podemos observar que o grau de  $CCD)$  será no máximo

$$\max[L(C_s), n - m + L(C_s)] = \max[L(C_s), n + i - L(C_s)]$$

Assim CCD) é um possível polinómio de conexão para o LFSR de comprimento L onde

$$= \max f(L, C_s), n + 1 - L, C_s) - 1 \quad \text{CID}$$

Além disso de CIO) temos que :

$$\sum_{i=1}^{L} C_i S_i = \sum_{i=1}^{L} C_i S_{j-t-d}^{(n)} = \sum_{i=1}^{L} C_i S_{j-n+m}^{(n)}$$

$$f O. J = L, L + 1, \dots, n - 1$$

$$d - d_n - d_m - d_m = 0 \quad . j = n$$

onde a última igualdade resulta de C6) e de C8)

Portanto, segue de C2) que o LFSR de comprimento L com polinómio de conexão CCD) gera os n + 1 dígitos S, S, ..., S, S. Desde que L satisfaz o Lema 01 com a igualdade, concluímos que L = L\_n C\_s) e portanto a igualdade do Lema 01 é sempre obtida.

QED.

#### 4. ALGORITMO PARA SÍNTESE DE LFSR

PASSO 1: CCD) = 1 BCD) = 1 x = 1  
L = 0 b = 1 N = 0

PASSO 2: Se N = n, pare. Caso contrário  
faça d = S\_N + £ C\_t S\_{t-v}

PASSO 3: Se d = 0. então faça x = x + 1 e vá para C6)

PASSO 4: Se d \* 0 e 2L > N. então faça  
CCD) = CCD) - d b^{-1} D \* BCD)  
x = x \* 1 e vá para C6)

PASSO 5: Se  $d \neq 0$  e  $2L < N$ , então

$$TCD) = CCD) \text{ [TCD) armazena temporariamente CCD) } 3$$

$$CCD) = CCD) - d \cdot b^{-1} D * BCD)$$

$$L = N + 1 - L$$

$$b = d$$

$$x = 1$$

PASSO 6:  $N = N + 1$  volte para C2)

## 5. PROGRAMA EM BASIC

```

0      REM SÍNTESE DE REGISTRADORES DE DESLOCAMENTO
1      DIM CDC(100), BDC(100), TDC(100), SC(100)
2      FOR I=0 TO 100
3          CDC(I)=0
4          BDC(I)=0
5          TDC(I)=0
6          SC(I)=0
7      NEXT I
e      INPUT "SAÍDA NA IMPRESSORA ? C1,0)"; PERG
10     INPUT "N";NP
ii     IF PERG>0 THEN LPRINT " N = ";NP
15     FOR I=0 TO NP-1
20     PRINT "SC "; I ; ") = ";
25     INPUT SC(I)
26     IF PERG>0 THEN LPRINT "SC ";I; ") = ";SCD
30     NEXT I
99     REM
100    CDC(0)=1
101    PRINT "ETAPA 1"
102    IF PERG>0 THEN LPRINT "ETAPA 1 "
105    BDC(0)=1
110    X=1
115    L=0
120    B=1
125    N=0
199    REM
200    IF N=NP THEN STOP

```



```

201 PRINT "ETAPA 2"
202 IF PERG>0 THEN LPRINT "ETAPA 2"
205 D=SC YD
207 PRINT "SCND=*';SCN): PRINT "N=";N: PRINT "L=";L
208 IF PERG>0 THEN LPRINT "SCN2=";SCN) ; " N=";N;" L=";L
210 FOR 1=1 TO L
215 B1=CDCI2*SCN-I2
220 B2=D
221 PRINT " B 1=";B 1; " B 2=";B 2
225 GOSUB 1000
230 D=BO
232 PRINT "BO=0";BO
235 NEXT I
299 REM
300 IF NOT D=0 THEN GOTO 400
301 PRINT "ETAPA 3"
305 X=X+1
310 GOTO 600
399 REM
400 L2=2*L
40b" IF L2<=N THEN GOTO £jO
406 PRINT "ETAPA 4"
407 IF PERG>0 THEN LPRINT "ETAPA 4"
410 DB=D/B
415 IF NOT DB=0 THEN GOSUB 2000
420 X=X+1: GOTO 600
499 REM
500 N1=NP
501 PRINT "ETAPA 5"
502 IF PERG>0 THEN LPRINT "ETAPA 5"
505 FOR 1=0 TO N1-1
510 TLX12 =CDC 12 ; NEXT I
520 DB=D/B
521 PRINT "D/B=";DB
525 IF NOT DB=0 THEN GOSUB 2000
530 L=N+1-L
535 FOR 1=0 TO N1-1
540 BLXI2=TDCI2

```

```

542 NEXT I
543 FOR I=0 TO N1-1: PRINT "BDC ";I;"=";" BDCI): NEXT I
545 B=D
550 , P. (1962). The properties of decomposed granite.
    Geotechnique, vol. 12, 226-243.
599 REM
600 Lutenegeger, h.J. and Saber, R.J. (1988). Determination of
    collapse potential of soils. Geot. Testing Journal,
601 PRINTASEE'/;V©I*5=TJCIK73*178.
602 KSffarf, J.P. (1980). Classification geotechnique des sols
603 PRINT" a propos de la classification LPC. Bulletin de
605 p^aj^is.soji des LPC, No. 105, 49-52.
610 HRrHalrB^pB (1973). Mechanical properties of rockfill,
615 lent Dam Engineering, 110-199, John Wiley &
    PRI few York.
620 IF PERGX =0. GOTO. 665
622 LSevf. J^B^, Irfan, T.Y., Cipullo, A. (1989). The charac-
623 terfzatXon of granitic saprolitic soils. XII ICSMFE,
    LPRI Ntfbl'CCfe,"; 333^543 CDC J)
624 PMQvoive, J. (1985). Stress paths for a compacted soil
625 LPRIN$ur*ing collapse due toLw*tt|.ng. PhD Thesis, University
626
665 ^*Rt«Io;E3'APAnd' Nishida, K. (1968). Physical and chemical
666 » ^ « ^ « ? W ( V o - " 2 o " e soil grains. soils
    ir PERGX =0 THEN INPUT PARA
670 Matsuo, S. and Nishida, K. (1970). The properties of
680 decomposed granite soils and their influence on
    GOTO jafiJCmeability. Soils and Foundation, vol. 10, No. 1,
999 REM 93 - 105 -
1000 B&t$as<-B2 E. L. (1969). Engineering properties of sasumua
1010 IF B0SI^A?f'B^0=70^h ICSMFEI Y 01 « 143-152, Mexico City.
1015 ffle WtkIH, THSH ,B<Fffcnc Filho, J.M. and Alvisé, C.R. (1988).
1030 RETUJ^outing of caniculae in residual soils and behavior of
    le foundations of Balbina dam. Proc. 2nd Int. Conf
2000 NN=X on Geomechanics in Tropical Soils, Vol. 1, 385-390,
2005 N2=NP^S - W^P^O^e -
2010 C©R MeFi&©TfO B2&L, Roase, M.M., and Porto, E.C. (1989).
2015 B1 =-rfei«^AT3^ended PIP^ P^iles: testing and piling in calcar-
    eous sand. Proc. 21th Offshore Technology Conference.
2020 B2=CDCI+NN)
2025 &E&DB' |&dtV and ward^ w.c. (1983). Eolian enviroment. In
    (ea.) Carbonate Depositional Enviroments. American
2030 CDCI-**&6*HBIation of Petroleum geologists, Memoir 33, 132-
2035 NEXT I^0*
2040 RETURN

```

EXEMPLO

$$N = 5$$

$$S = S_0 \cdot S_1 \cdot S_2 \cdot S_3 \cdot S_4 = 10100$$

$$N = 3$$

$$S C O D = 1$$

$$S C I \text{ } \text{ } = 0$$

$$S C 2 ) = 1$$

$$S C 3 ) = 0$$

$$S C 4 ) = 0$$

ETAPA 1

ETAPA 2

$$SCN \geq 1 \quad N=0 \quad L=0$$

ETAPA 5

$$CC= 0 ) = 1$$

$$CC= 1 ) = -1$$

$$L = 1$$

$$D= 1 \quad B= 1 \quad x= 1$$

ETAPA 6

ETMTM 'ó ' 1

$$SCN) = 0 \quad N= 1 \quad L=$$

ETAPA 4

$$CC= 0 ) = 1$$

$$CC= 1 ) = 0$$

$$CC= 2 ) = 0$$

$$L = 1$$

$$D=-1 \quad B= 1 \quad X= 2$$

ETAPA 6

ETAPA 2

$$SCN \geq 1 \quad N= 2 \quad L=$$

ETAPA

$$CC= 0 ) = 1$$

$$CC= 1 ) = 0$$

ETAPA 6

ETAPA 2

SCrO = 0 N= 3 L= 2

CC= 0 2 = 1

CC= 1 2 = 0

CC= 2 >=-1

C O 3 2 = 0

CC= 4 ) = 0

L = 2

D= 0 B= 1 X= 2

ETAPA e

ETAPA 2

SCN> = 0 N= 4 L= 2

ETAPA 5

cc = O 2 = 1

CC= 1 2 = 0

CC= 2 2 = 0

CC= 3 > = 0

CC= 4 2 = 0

CC= 5 2 = 0

"LFSR"

L = 3

D=-1 B=-1 X= 1

ETAPA 6

## BIBLIOGRAFIA E REFERÊNCIAS

- £13 - SHANNON, C. , "A Mathematical Theory of Communication", Bell systems tech. j. Vol. 27, Cpt.I). pp. 374-427, Cpt.II). pp. 623-656, 1948.
- Ü23 - GALLAGER, R. G. , "Information Theory and Reliable Communication", John Wiley e Sons. , Inc. , 1968.
- r33 - LIN, S. and COSTELLO, D. , Jr. , "Error Control Coding Fundamentals and Applications", Prentice-Hall, 1983.
- [43 - MACWILLIAMS, F. J. and SLOANE, N. J. A. , "The Theory of Error - Correcting Codes". North-Hoiland, 1986.
- [53 - CAMPELLO DE SOUZA, R. M. , "Transform Techniques for Channel Coding". Ph. D Thesis. University of Manchester, U.K., 1983.
- [63 - ROCHA Jr. , V. C. , "Códigos Corretores de Erros", Minicurso -esentado no V Congresso Nacional da SBMAC, João Pessoa, PB, agosto. 1982.
- £73 - CAMPELLO DE SOUZA. R. M. . "Decodificação Probabilística de Códigos Lineares", Tese de Mestrado, Universidade Federal de Pernambuco, 1979.
- [83 - OLIVEIRA. H. M. . "Técnicas de Decisão Suave", Tese de Mestrado, Universidade Federal de Pernambuco, 1983.
- [93 - RUDOLPH, L. "Easily Implementend Error-Correction-Decoding", G. E. Report N~ 62MCDe. General Eletric Corporation. Oklahoma City. Okla. , December 1962.
- [103 - PETERSON. W. W and WELDON. E. J. Jr., "Error-Correct!ng Codes". 2nd Ed. MIT Press. 1972.

- £113 - KASAMI, T., "A Decoding Method for Multiple-Error-Correcting Cyclic Codes by Using Threshold", Conv. Rec. Inf. Process. Soc. Jap., Tokyo, November 1961.
- [123 - MITCHELL, M. E. et al., "Coding and Decoding Operation Research", G. E. Advanced Electronics Final Report on Contract AF 19 06042-6183,, Air Force Cambridge Research Labs., Cambridge, Mass., 1961.
- £133 - MITCHELL, M. E. . "Error-Trap Decoding of Cyclic Codes", G. E. Report N— 62MCD3, General Electric Military Communications Dep., Oklahoma City, Okla., December 1
- [143 - ROCHA Jr., V. C.; CAMPELLO DE SOUZA. R.M. and FARRELL, P. G. . "Multilevel Pseudocyclic Codes", J. Inf. Optim. Sci. Vol. 11, N° 1, 1990, pp. 101-106.
- £153 - BERLEKAMP, E. R. . "Algebraic Coding Theory", McGraw - Hill, New York, 1968.
- [ I J J - /w-A-riA Jr., V. C., "Algebraic Decoding of Class of Multilevel Pseudocyclic Codes", Electronics Letters, 2nd March, Vol.25. N- 5, 1989. pp. 341 -342.
- £173 - CLARK, G. C. . Jr and CAIN, J. B. , "Error-Correction Coding for Digital Communications", Plenum Press. 1981.
- £183 - ROCHA Jr. . V. C. ; HONARY, B. K. and BATE, S. . "Algebraic Properties of B. C. H. Codes' Useful for Decoding", International Journal of Satellite Communications, Vol. 7, N- 3, 989. pp. 225-229.
- £193 - ROCHA Jr., V. C. . "Soft Error-Trapping Decoding of Cyclic Codes", Electronics Letters. February, Vol.25, N~ 4, 1989, pp. 293-294.

- £203 - DÜR. A. , "The Automorphism Groups of Reed-Solomon Codes",  
Journal of Combinatorial Theory. Series A. Vol. 44, 1987.  
pp. 69-82.
- £213 - DOR, A. . "On Linear MDS Codes of Length  $q+1$  over  $GFCqD$  for  
Even  $q$ ". Journal of Combinatorial Theory, Series A,  
Vol. 49. 1988. pp. 172-174.
- £223 - DAHL. C. AND PEDERSEN, J.P. . "Cyclic and Pseudo-Cyclic MDS  
Codes of length  $q+1$ ", J. Comb. Theory, Serie A, to appear.
- £233 - DAHL, C. AND PEDERSEN. J. P. , "Classification of Pseudo-Cyclic  
MDS Codes". IEEE Trans. IT. to appear.
- £243 - KRISHMA, A. AND SARWAATE. D. . "Pseudocyclic Maximum-Distance-  
Separable Codes". IEEE Trans. IT. to appear, July 1990.
- £253 - MASSEY, J. L. . "Shift - Register Synthesis and BCH Decoding".  
IEEE Trans., Vol. IT - 15 N~ 1. JANUARY 1969, pp. 122-127.
- £263 JR. . V. C. , "Maximum Distance Separable Multilevel  
Codes", IEEE Transactions Information Theory. Vol. IT-30.  
N- 3. 1984. pp. 547-548.
- £273 - BIRKHOFF. G. and MACLANE. S. . "A Survey of Modern Algebra".  
Macmillan. 1977.
- £283 - ROCHA Jr. . V. C. . "A Class of Multilevel Error-Correcting  
Codes". Int. J. Electronics. Vol.51. N~ 6. 825-829. 1981.
- £293 - THOMAS, S. , "A Linear Complexity Approach to Cyclic Codes".  
Tese de Doutorado. Swiss Federal Institute of Technology,  
Zuerich. 1988.